УДК 553.078:553.44

# МЕСТОРОЖДЕНИЯ СВИНЦА И ЦИНКА В ИСТОРИИ ФОРМИРОВАНИЯ ЗЕМНОЙ КОРЫ

© 2016 г. Е. С. Контарь

Уральская геологосъемочная экспедиция 620014, г. Екатеринбург, ул. Вайнера, 55 E-mail: eskontar@mail.ru

Поступила в редакцию 08.12.2015 г. Принята к печати 04.02.2016 г.

Обобщены данные по размещению в структурах Земли месторождений свинца и цинка следующих геолого-промышленных типов (ГПТ): колчеданного кипрского, колчеданного уральского, колчеданного куроко, колчеданного филизчайского, стратиформного свинцово-цинкового в карбонатных толщах, скарнового свинцово-цинкового (стратиформного скарнированного), стратиформного свинцово-цинкового в терригенных толщах, свинцово-цинкового жильного. Согласно выполненным автором оценкам, в истории Земли, по крайней мере, с позднего архея и по четвертичное время включительно, накоплено не менее 17.3 млрд т руды, содержащей свыше 317 млн т свинца и 600 млн т цинка.

Ключевые слова: месторождения свинца и цинка, геолого-промышленные типы, колчеданный кипрский, колчеданный уральский, колчеданный куроко, колчеданный филизчайский, стратиформный свинцово-цинковый в карбонатных толщах, скарновый свинцово-цинковый (стратиформный скарнированный), стратиформный свинцово-цинковый в терригенных толщах, свинцово-цинковый жильный.

### **ВВЕДЕНИЕ**

Месторождения свинца и цинка, как и месторождения меди, служат важнейшим сырьевым источником цветной металлургии, производства благородных металлов и химической промышленности. Руды этих месторождений помимо основных металлов содержат значительнще количествао меди, серебра, золота, олова, висмута, сурьмы, индия, кадмия, а также барита и флюорита.

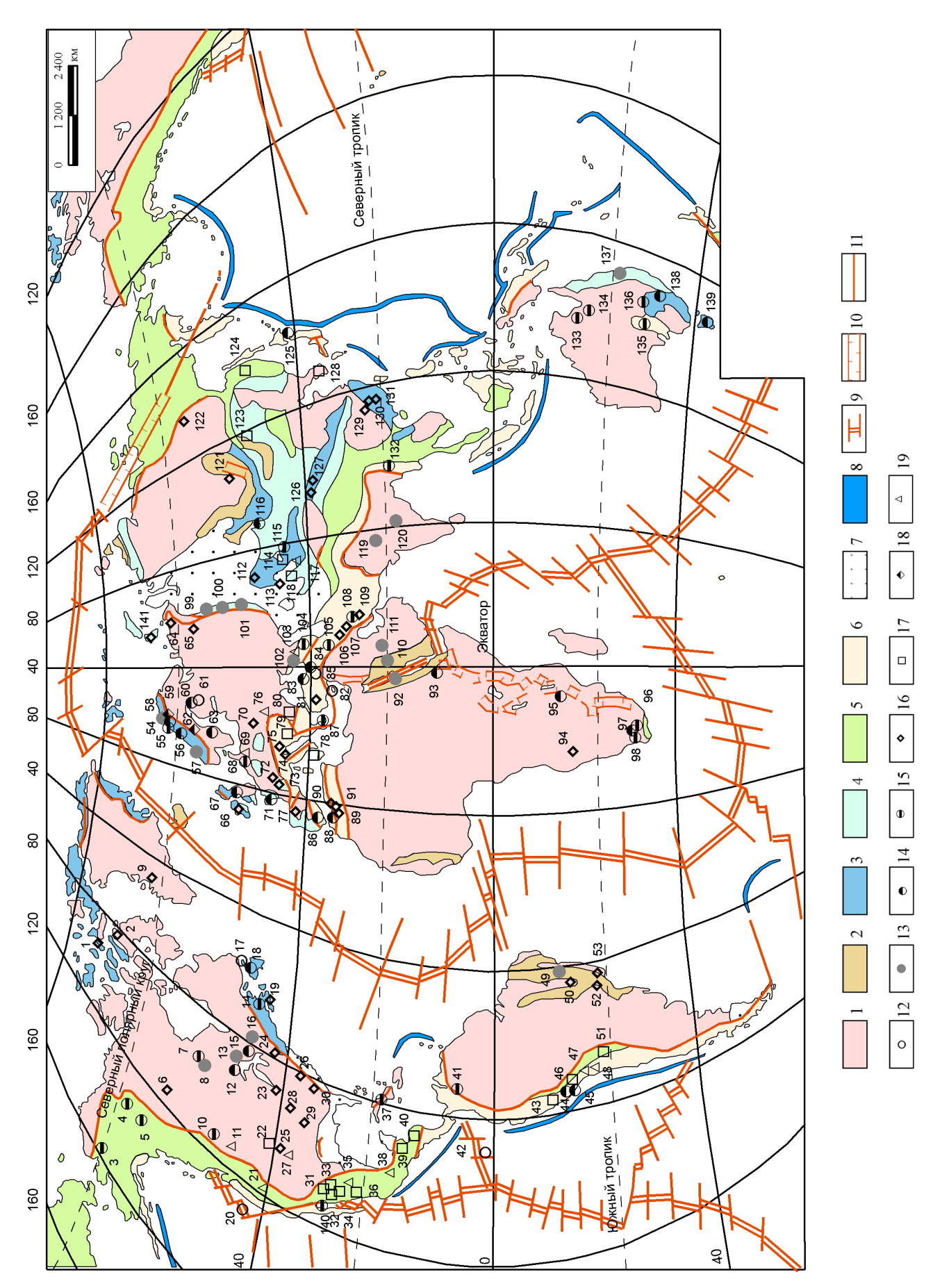
Месторождения этих металлов известны на всех континентах (кроме Антарктиды), а также в некоторых структурах Мирового океана (рис. 1). Они распространены в широком возрастном диапазоне — от позднего архея и по четвертичное время включительно.

Существующие варианты геолого-промышленной типизации месторождений свинца и цинка разнообразны. Из табл. 1 видно, что ни один из вариантов геолого-промышленной типизации месторождений свинца и цинка не является всеобъемлющим, все они как бы дополняют друг друга. Это обстоятельство позволило автору предложить следующий обобщенный вариант геолого-промышленной типизации месторождений свинца и цинка.

- І. Группа (семейство, по В.И. Смирнову) колчеданных геолого-промышленных типов, включающая
- I-1. цинксодержащий медноколчеданный (кипрский);

- I-2. свинецсодержащий медно-цинковоколчеданный (уральский);
- I-3. медно-свинцово-цинковоколчеданный (куроко или рудноалтайский);
- I-4. свинцово-цинковоколчеданный (филизчайский).
- II. Группа стратиформных геолого-промышленных типов, включающая
- II-1. свинцово-цинковый стратиформный в карбонатных толщах (миргалимсайский, каратауский, миссисипский, атасуйский);
- II-2. свинцово-цинковый стратиформный в терригенных толщах (лайсвалльский);
- II-3. свинцово-цинковый скарновый (в сущности, это скарнированный, регенерированный свинцово-цинковый стратиформный в карбонатных толщах) (приаргунский).
  - III. Свинцово-цинковый жильный (садонский).

Близкий вариант типизации предложен А.Л. Дергачевым с соавторами [10]. Они выделили пять типов месторождений, которые в определенной мере сопоставимы с приведенными выше, а именно: плутоногенные (соответствующие частично типу II-3 и типу III), вулканогенные колчеданные (соответствующие типам I-1, I-2, I-3), стратиформные эксгаляционно-осадочные в терригенных породах (соответствующие типу I-4), стратиформные в карбонатных породах (соответствующие типам II-1 и частично II-3) и свинцовые в песчаниках (соответствующие типу II-2).



# **Рис. 1.** Схема размещения месторождений свинца и цинка в структурах Земли по В.Н.Выдрину из работы [6] с уточнениями и дополнениями.

Главнейшие месторождения, рудные поля, рудные районы: 1. Поларис; 2. Нанисивик; 3. Ред-Дог; 4.Том, Джасон; 5.Энвил; 6. Пайн-Пойнт; 7. Сноу-Лейк; 8. Флин-Флон; 9. Блэк-Энджел; 10. Салливан; 11. Кер-д'Ален; 12. Стерджен-Лейк; 13. Кидд-Крик; 14. Батерс-Ньюкасл; 15. Эрингтон, Вермильон; 16. Норанда; 17. Бете-Ков, Титл-Ков . – древние платформы; 2 – байкалиды; 3 – каледониды; 4 – герциниды; 5 – киммериды; 6 – алыпды; 7 – осадочный чехол каледонид и герцинид; 8 – глубоководные р-н; 71. Боденнек, Порт-о-Муан; 72. Ле-Малин, Ларжантъер; 73. Сен-Сальви; 74. Блайберг; 75. Райбл, Салафосса; 76. Береговское; 77. Реосин, Рубиалес; 78. Группа 92. впадина Атлантис II; 93. Адди-Нефас, Дыбыруа; 94. Цумеб; 95. Саньяти; 96. Аггенис (Этгенис), Блэк-Маунтин, Броккен-Хилл; 97. Приска; 98. Гамсберг; 99. Место-Колихан, Раджпура-Дариба; 120. Радха; 121. Таборное, Луговое; 122. Сардана, Уруй, Перевальное; 123. Нерчинская группа; 124. Дальнегорская группа; 125. Месторождения района Куроко; 126. Тэн-Бао-Шань; 127. Сите-Шань (Ситешань); 128. Йонхва I, II; 129. Таолинь; 130. Шуйкоушань; 131. Фанькоу; 132. Бодуин (Боудвин); желоба; 9 – рифтовые зоны и трансформные разломы Мирового океана; 10 – континентальные рифты; 11 – крупнейшие тектонические нарушения; 12–19 – геологопромышленные типы месторождений свинца и цинка: 12 – колчеданный кипрский, 13 – колчеданный уральский, 14 – колчеданный куроко, 15 – колчеданный филизчайский, 16 – стратиформный свинцово-цинковый в карбонатных породах, 17 – свинцово-цинковый скарновый (стратиформный свинцово-цинковый в карбонатных породр.; 18. Баченс (Баканс); 19. Гейс-Ривер; 20. Хуан-де-Фука; 21. Парк-Сити; 22. Тинтик, Бингем (непорфировые руды); 23. Верхнемиссисипская долина; 24. Балмат-Эдуардс; 25. Ледвиллская группа; 26. Остинвилл-Айванхо; 27. Сан-Хуан; 28. ЮВ Миссури; 29. Три-Стейтс; 30. Джефферсон-Сити-Маскот; 31.Сан-Педро-Коралитос; Санта-Эулалия, Найка; 33. Лос-Ламентос, Сан-Карлос; 34. Санта-Барбара; 35. Парраль; 36. Авино; 37. Карлотта, Санта-Люсия, Матаамбре; 38. Пачука; 39. Монтенегро; 40. Эль-Мочито; 41. Байладорес (Лас-Тапьяс); 42. Галапагос-Рифт; 43. Уансала (Хуансала); 44. Серро-де-Паско; 45. Касапалька (Касапалка), Сантандер; 46. Морокоча; 47. Матильда; 48. Уанчака; 49. Караиба; 50. Бокира; 51. Агиляр (Эль-Агиляр); 52. Византии; 53. Йору-Агуду; 54. Сулительма; 55. Рана, Муфьеллет, Блейквассли; 56.Стеккеньок, Леви; 57. Леккен, Тверрфьеллет; 58. Болиден (Шелефтео); 59. Лайсвалль; 60. Виханти; 61. Оутокумпу; 62. Вассбо; 63.Фалун, Гарпенберг; 64. Саурейское; 65. Ильчская группа; 66. Наван, Тайнах (Тайнаг), Сильвермайнс; 67 Парис-Маунтин; 68. Меттен, Раммельсберг; 69. Р-н Западного Гарца; 70. Силезско-Краковский месторождений о-ва Сардиния; 79.Трепча (Стр Трг); 80. Мадан; 81. Балья-Маден; 82. Месторождения массива Троодос (о-в Кипр); 83.Ашикей; 84. Мургул-Анаятак; Эргани-Маден; 86. Иберийский пиритный пояс; 87. Мадем-Лаккос; 88.Ходжар; 89. Зейда, Бу-Мия, Мибладен; 90. Группа Туиссит-Бу-Беккер; 91. Эль-Абед, Бу-Дука; ина Северного Урала; 100. Месторождения Среднего Урала; 101. Месторождения Южного Урала и Мутождар; 102. Худес, Уруп; 103. Садон, Згид, Архон; 104. Филизчай; 105.Энгуаран (Ангуаран); 106. Шехкух; 107. Мехди-Абад (Мехдиабад); 108. Кушк; 109. Тавджкух; 110. Джебель-Саид. 111. Хнайгия; 112. Атасуйский район; 113. Каратауская группа; 114. Алтын-Топканская группа; 115. Текели, Коксуй; 116. Рудный Алтай; 117. Канимансур; 118. Кургушинканская группа; 119. Мадхан-Кудхан, 133. Мак-Артур-Ривер; 134. Маунт-Айза, Хилтон, Леди-Лоретта; 135. Броккен-Хилл; 136. Элура; 137. Маунт-Морган; 138. Вудлон, Кэптейнс-Флет; 139. Ред-Розбери, аах скарнированный); 18 – стратиформный свинцово-цинковый в терригенных породах, 19 – свинцово-цинковый жильный. Келлиер, Маунт-Ляйель, 140. Впадина Гуаймас (Калифорнийский залив); 141. Павловское.

# Fig. 1. The scheme of location of the lead and zinc deposits in the structures of the Earth (by V.N.Vydrin, from [6] with elaborates and additions).

The principal deposits, ore fields, ore areas: 1. Polaris; 2. Nanisivik; 3. Red Dog; 4.Tom, Jason; 5.Envil; 6. Pine Point; 7. Snow Lake; 8. Flin Flon; 9. Black Angel; 10. Sullivan; 11. Coeur d'Alene; 12. Sturgeon Lake; 13. Kidd Creek; 14. Batters-Newcastle; 15. Eringtone, Vermillion; 16. Noranda; 17. Betts Cove, Tittle Cove and others. 18. Buchans; 19. Geis River; 20. Juan de Fuca; 21. Park City; 22. Tintik, Bingham (nonporfiry ore); 23. Upper-Missisipi Valley; 24. Balmat-Edwards; 25. Leadville group; 26. Ostinvill-Aivanhov; 27. San Juan; 28. SE Missouri; 29. Three-States; 30. Jefferson-City-Mascot; 31.San Pedro Koralitos; 32. Santa Eulalia, Nike; 33. Los Lamentos, San Carlos; 34. Santa Barbara; 35. Par-Juan; 28. SE Missouri; 29. Three-States; 30. Jefferson-City-Mascot; 31.San Pedro Koralitos; 32. Santa Eulalia, Nike; 33. Los Lamentos, San Carlos; 34. Santa Barbara; 35. Par-Juan; 28. SE Missouri; 29. Three-States; 30. Jefferson-City-Mascot; 31.San Pedro Koralitos; 32. Santa Eulalia, Nike; 33. Los Lamentos, San Carlos; 34. Santa Barbara; 35. Par-Juan; 28. SE Missouri; 29. Three-States; 30. Jefferson-City-Mascot; 31.San Pedro Koralitos; 32. Santa Eulalia, Nike; 33. Los Lamentos, San Carlos; 34. Santa Barbara; 35. Par-Juan; 28. Se Missouri; 29. Three-States; 30. Jefferson-City-Mascot; 31.San Pedro Koralitos; 32. Santa Eulalia, Nike; 33. Los Lamentos, San Carlos; 34. Santa Barbara; 35. Par-Juan; 36. Jefferson-City-Mascot; 31.San Pedro Koralitos; 32. Santa Eulalia, Nike; 33. Los Lamentos; 34. Santa Barbara; 35. Par-Juan; 36. Jefferson-City-Mascot; 31. Santa Barbara; 35. Par-Juan; 36. Jefferson-City-Mascot; 31. Santa Barbara; 37. Santa Barbara; 38. Jefferson-City-Mascot; 31. Jefferson-City-Mascot; 31. Jefferson-City-Mascot; 31. Jefferson-City-Mascot; 31. Jefferson-City-Mascot; 31. Je 44. Cerro-de-Pasco, 45. Kasapalka, Santander, 46. Morococha, 47. Matilda, 48. Huanchaca; 49. Carib, 50. Bokira; 51. Aguilar (Él Aguilar); 52. Byzantium; 53. Mora-Agudo; 54. Sulitelma; 55. Rana Mufellet, Bleykvassli; 56. Stekkenok, Levi; 57. Lekken, Tverrfellet; 58. Boliden (Shelefteo); 59. Laysvall; 60. Vihanti; 61. Outokumpu; 62. Vassbo; 63. Fa-Dybyrua; 94. Tsumeb; 95. Sanyati; 96. Aggenis (Eggenis), Black Mountain, Broken Hill; 97. Prisca; 98. Gamsberg; 99. The deposit of the Northern Urals; 100. The deposits of the Southern Urals and Mugodzhary; 102. Khudes, Urup; 103. Sadon, Zgid, Archon; 104. Filizchay; 105. Enguaran (Anguaran); 106. Shehkh; 107. Mehdi Abad (Mehdiabad); 108. Kushk; 109. Tavdzhkuh; 110. Jabal Sayid. 111. Hnaygiya; 112. Atasuy area; 113. Karatau group; 114. Altyn-Topkan group; 115. Teke-Uruy, Pereval'noe; 123. Nerchinsk group; 124. Dalnegörsk group; 125. Kuroko deposit area; 126. Teng-Bad-Shan; 127. Cite Shan (Siteshan); 128. Yonhva I, II; 129. Taolin; 130. Shuykoushan; 131. Fankou; 132. Baudouin (Boudvin); 133. McArthur River; 134. Mount Isa, Hilton, Lady Loretta; 135. Broken Hill; 136. Eluru; 137. Mount Morgan; - ancient platforms; 2 - Baikalides; 3 - Caledonides; 4 - Hercynides; 5 - Cimmerides; 6 - Alpides; 7 - sedimentary cover of Caledonides and Hercynides; 8 - deep-water troughs; 9 - rift zones and transform faults of the oceans; 10 - continental rifts; 11 - the main tectonic faults; 12-19 - geological-industrial types of lead and zinc deposits: 12 - massive sulphide Cyprus, 13 – massive sulphide Urals, 14 – massive sulphide Kuroko, 15 – massive sulphide Filizchay, 16 – stratiform lead-zinc carbonate-hosted, 17 – skarn lead-zinc (stratral; 36. Awino; 37. Carlotta, Santa Lucia, Mataambre; 38. Pachuca; 39. Montenegro; 40. El Machito; 41. Bayladores (Las Tapyas); 42. Galapagos Rift; 43. Uansala (Huansala); lun, Garpenberg; 64. Saureyskoe; 65. Ilych group; 66. Navan, Taynag, Silvermayns; 67 Paris Mountain; 68. Meggen, Rammelsberg; 69. West Harz district; 70. Silesian-Krakow region; 71. Bodennek, Port-au-Moine; 72. Le Malin, Larzhantier; 73. Saint-Salvi; 74. Bleiberg; 75. Raybl, Salafossa; 76. Beregovskoe; 77. Piersyn, Rubiales; 78. The group of deposits of the island of Sardinia; 79 Trepcha (Old Trg); 80. Madan; 81. Balya-Maden; 82. Deposits of Troodos region (Cyprus); 83. Ashikey; 84. Murgul-Anayatak; 85. Ergani-Maden; 86. Iberian pyrite belt; 87. Madem-Lakkos; 88. Hodzhar; 89. Zeid, Bou Mia, Mibladen; 90. Group Twiss Bou Bekker; 91. El-Abed, Boo-Duk; 92. Atlantis II basin; 93. Adi Nefas, li, Koksui; 116. Ore Altai; 117. Kanimansur; 118. Kurgushinkan group; 119. Madhav-Kudhan, Kolihan, Rajpur-Dariba; 120. Radha; 121. Tabornoye, Lugovoe; 122. Sardana, 38 Woodlawn, Captains-Flat; 139. Red Rosebery, Hellyer, Mount Lyell; 140 Guaymas Basin (Gulf of California); 141. Pavlovsk. iform, converted to skarns), 18 – stratiform lead-zinc clastic-hosted, 19 – lead-zinc vein.

Таблица 1. Существующие варианты геолого-промышленной типизации месторождений свинца и цинка и их сопоставление Table 1. The available geological-industrial typification deposits of lead and zinc and their comparison

8

			-OI		re		
[9]	,		Колчеданно-по- лиметалли- ческий		Неправильные залежи в карбонатных породах, иногда в ассоциации со скарнами ("скарновый")	Стратиформ- ный	Жильный
[35]	1		Медно-свин- цово-цинково- колчеданный (рудноалтай- ский тип)	Медьсодержа- щий свинцо- во-цинково- колчеданный (филизчайский тип)	Свинцово-цин- ковый "скар- новый" реге- нерированный (приаргунский тип)	Свинцово-цин- ковый стра- тиформный (миргалимсай- ский тип)	Свинцово-цин- ковый жиль- ный (салон-
[3]	3		Колчеданно-поли- металлический в риолитоидных вул- каногенных фор- мациях геосинкли- налей (рудноалтай- ский тип)	Колчеданно-поли- металлический в терригенных фор- мациях геосинкли- налей (филизчай- ский тип)	Метасоматический и скарновый (приар- гунский тип)	Свинцово-цинковый стратиформный в карбонатных формациях геосинклиналей и платформ (каратауский, миргалимсайский или миссисипский типы)	Жильный и жильно- штокверковый (са-
[39]	Примитивный тип (Primitive Type)	Тип Бесси (Besshi Туре) Тип медистых пиритов (Cupreous Py- rite Туре)	Полиметалли- ческий тип (Polymetallic Type)	Вмещаемые обломочными породами (Clastic-hosted Type)		Вмещаемые карбонатны- ми породами (Carbonate- hosted Type)	
[23]		Главные типы	Медно-свинцово- цинковый кол- чеданный в осадочно-вулка- ногенных породах (рудноалтайский тип)	Медно-свинцово- цинковый колче- данный в углеро- дисто-терригенных породах (филиз- чайский тип)	Свинцово-цинко- вый в карбонатных породах, часто со скарнами (приар- гунский тип). От- носипся к второ- степенным типам	Свинцово-цинковый стратиформный в карбонатных породах (миргалимсайский тип) Второстепенные типь	Свинцово-цинковый жильный в разно- образных породах
[41, [7]	Колчеданно-поли-	металлические месторождения в докембрийских метаморфических толщах	Колчеданно-поли- металлические месторождения в вулканогенно- осадочных по- родах	Колчеданно-поли- металлические месторождения в терригенных по- родах	Скарновый	Стратиформный свинцово-цинко- вый в карбонат- ных породах	Жильный
[29]			Колчеданный		Скарновый, трещинно- метасомати- ческий	Эпиплатфор- менный, пе- рикратон- ный, субгео- синклиналь- ный	Трещинно- жильный
[28]	1		Колчеданный		Скарновый, метасомати- ческий	Стратиформ- ный	Жильный
[38]	Основные типы	Колчеданно-полиметаллические месторождения в докембрийских метаморфических породах	Колчеданно-поли- металлические месторождения в	вулканогенно-оса- дочных и терри- генных толщах	Полиметаллические месторождения в скарнированных и окварцованных карбонатных породах	Свинцово-цинко- вые стратиформ- ные месторожде- ния в карбонатных породах	Полиметаллические жильные и жило- образные место-

	Железо-марганец-			
	барит-свинцово-	Колчеданно-поли-	Желево менен	
	цинковый колче-	металлический	Meso-mapi an-	
Втопостантий	данный в трахи-	в карбонатно-	цево-свинцо-	
mun	тоидных вулкано-	кремнистых фор-	БО-ЦИПЛОВО-	
	генно-терригенно-	мациях геосинкли-	Солтоданный	
	карбонатных по-	налей (атасуйский	(arac) newnn	
	родах (атасуйский	тип)		
	ТИП)			
Стратиформные ме-	Свинцово-цинковый			
сторождения ме-	стратиформный в			
дистых песчани-	терригенных поро-			
ков, содержащих	дах (лайсвалльский			
свинец и цинк	Тип)			
	Свинцово-цинковый	- 1	(	
	медноколчедан-		Свинцово-цин-	
	ный в осадочно-	дезитоидных вул-	ково-медно-	
	вулканогенных по-	каногенных фор-	колчеданным	
	родах (малокавказ-	мациях Геосинкли-	(Majlokabkas-	
	ский тип)	налеи (малокавказ- ский тип)	ский тип)	
	Свинцово-цинко-	Цинково-меднокол-		
	вый в соляных ди-	чеданный (ураль-		
	апирах	ский тип)		

Каждый из этих геолого-промышленных типов занимает вполне определенное место в тектоно-магматическом процессе и они характеризуются специфическими геодинамическими (палеотектоническими) обстановками формирования, что достаточно обстоятельно рассмотрено в отечественной и зарубежной литературе [3–7, 9, 14–16, 22, 26, 28, 29, 32, 35, 37–39 и др.].

Колчеданные месторождения выделены В.И. Смирновым в качестве самостоятельной генетической группы эндогенных месторождений. Большинство исследователей этих объектов единодушны в том, что они являются производными субмаринных осадочно-вулканогенных базальтоидных комплексов ранних стадий эвгеосинклинального (палеоокеанического, палеоостроводужного) развития складчатых систем. По особенностям внутреннего строения, вещественного наполнения, характера субстрата Г.А. Твалчрелидзе [34] выделил офиолитовые, первичные, вторичные и сланцевые геосинклинали, которым соответствуют колчеданные месторождения кипрского, уральского, куроко (рудноалтайского) и филизчайского типов. Месторождения кипрского и уральского типов относятся к группе медно- и медно-цинково-колчеданных, которые формировались в структурах, образованных на коре океанического типа. Месторождения типов куроко (рудноалтайского) и филизчайского являются колчеданно-полиметаллическими (медносвинцово-цинковыми и свинцово-цинковыми) и их образование связывается с участием в рудогенезе вещества континентальной коры.

Колчеданные месторождения кипрского типа приурочены к недифференцированным натровым толеитовым базальтовым формациям, сосуществующими с альпинотипными ультрамафитами в рамках офиолитовых ассоциаций. Для этих месторождений характерен существенно медный или медносерный состав руд с подчиненной ролью цинка. Колчеданные месторождения уральского типа связаны с дифференцированными натровыми бимодальными базальт-риолитовыми (и/или непрерывными базальт-андезит-дацит-риолитовыми) сериями и обладают медными и медно-цинковыми рудами с низкими содержаниями свинца. Колчеданные месторождения типа куроко (рудноалтайского) ассоциируют с кали-натровыми бимодальными базальт-риолитовыми сериями в структурах, образованных на геоантиклинальных поднятиях или срединных массивах. Руды этих месторождений имеют медно-свинцово-цинковый (±барит, флюорит) состав. Колчеданные месторождения филизчайского типа ассоциируют, как правило, с тонким вулканогенным флишем, содержащим углеродистые, иногда карбонатные породы, при редуцированном развитии вулканитов базальтового либо андезит-дацитового состава или их отсутствии. Рудоносными являются глубоководные окраинно-

континентальные прогибы, либо прогибы во фронтальных или фланговых частях островных дуг. Руды этих месторождений являются свинцовоцинковыми (±барит), маломедистыми.

Такая типизация колчеданных месторождений с некоторыми нюансами принимается большинством исследователей этих объектов. Одним из таких нюансов является выделение самостоятельного типа "бесси", который, в сущности, является разновидностью кипрского типа, характеризующейся редуцированным развитием ультрамафитов в составе офиолитовой ассоциации [2].

В геолого-промышленном типе стратиформных свинцово-цинковых месторождений в карбонатных толщах могут быть выделены две группы. Одна из них – наиболее многочисленная – это месторождения, локализованные в известняководоломитовых толщах чехлов древних платформ и/или активизированных срединных (миргалимсайский, каратауский, миссисипский типы). Магматические породы (за исключением иногда отмечающихся кремнекислых или щелочных вулканитов, подстилающих рудоносные толщи, и редких пострудных даек долеритов), как правило, неизвестны. Объекты этой группы характеризуются свинцово-цинковым (±барит, флюорит) составом руд с переменными соотношениями главных компонентов. К этой группе принадлежат классические стратиформные свинцово-цинковые месторождения, расположенные в различных структурах чехлов Северо-Американской, Восточно-Европейской, Китайско-Корейской, Африканской платформ.

Характерными особенностями геологических условий размещения месторождений этой группы являются следующие. Накопление пород рудоносных формаций происходило в обстановке трансгрессий эпиконтинентальных морей после длительных периодов денудации сформировавшихся платформ и/или срединных массивов [5, 23, 28, 29, 32, 35]. Ассоциация свинцово-цинкового оруденения с известняково-доломитовыми толщами объясняется Н.М.Страховым [33] близкими палеоклиматическими и палеотектоническими условиями образования. Он считает, что максимум доломитообразования обусловлен сочетанием платформенной обстановки с аридным климатом. Наиболее обильное доломитообразование характерно для рифейских и ранне- среднепалеозойских морей, когда докембрийские платформы лавразийской группы (Северо-Американская, Восточно-Европейская, Сибирская, Китайская) находились в аридных палеоклиматических зонах. Вероятно, поэтому в известняково-доломитовых толщах позднего докембрия, раннего и среднего палеозоя сосредоточено около 80% мировых запасов свинца и около 60% мировых запасов цинка месторождений этого ГПТ. Уже с позднего палеозоя процессы морского доломитообразования в аридных зонах менее

распространены, с чем коррелируется сокращение продуктивности этого времени на стратиформные свинцово-цинковые руды.

Важной особенностью размещения свинцовоцинковых объектов миргалимсайского типа является их пространственная приуроченность к краевым частям нефтегазоносных провинций, а также структурно-парагенетическая и стратиграфическая сопряженность с нефтегазоносными и солеродными формациями.

Впервые на парагенетические связи рудных и нефтегазовых месторождений обратил внимание в начале XX века В.И. Вернадский. Проблема парагенезиса рудо- и нафтидогенеза, способствующего образованию многих промышленно важных месторождений в последние годы привлекает внимание многих исследователей [5, 8, 26, 27, 35, 40]. Не останавливаясь на обзоре этой проблемы, которая обстоятельно рассмотрена Д.И. Горжевским с соавторами [27], отметим лишь некоторые, наиболее важные ее аспекты.

Рудообразование в этих обстановках обеспечивается сложным функционированием геогидродинамических систем, приуроченных к аконсервационным зонам, периферийным участкам нефтегазоносных провинций, лишенным эффективной покрышки. В этой области происходит разгрузка восходящих высокоминерализованных подземных вод и рассолов, сопряженных с нефтегазовыми залежами и имеющих нередко высокие температуры, сопоставимые с температурой гидротермальных растворов. Циркуляция таких горячих высокоминерализованных вод вдоль тектонических нарушений приводит к выщелачиванию из вмещающих пород металлов и переотложению их на различных геохимических барьерах.

Рудные месторождения часто располагаются на одних стратиграфических уровнях с нефтегазовыми залежами или выше; и те, и другие залегают в одинаковых по литолого-фациальному составу образованиях. В частности, хорошо известна нефтегазолокализующая роль карбонатных рифовых массивов, которые являются также рудовмещающими стратиформных свинцово-цинковых месторождений. Так, свинцово-цинковое месторождение Пайн-Пойнт (Канада) залегает в среднедевонской рифогенной толще и находится на одном стратиграфическом уровне с продуктивными отложениями Западно-Канадского нефтегазоносного бассейна, также имеющими рифогенную природу. На восточной окраине Восточно-Европейской платформы силурийские свинцово-цинковые месторождения Илычской группы расположены в одноименном карбонатном рифовом массиве, который находится на уровне силурийско-раннедевонского карбонатного нефтегазоносного комплекса Тимано-Печорской провинции. Позднедевонские свинцово-цинковые месторождения Каратау находятся вблизи ограничения Чу-Сарысуйского нефтегазоносного бассейна с одновозрастными продуктивными отложениями. Такие примеры могут быть продолжены.

Нередко в коллекторских породах нефтегазовых месторождений присутствуют минералы, свойственные рудным месторождениям — пирит, халькопирит, сфалерит, галенит, барит, флюорит и др. В газово-жидких включениях этих минералов рудных месторождений обнаруживаются твердые, жидкие и газообразные углеводороды нефтяного ряда, а сами рудовмещающие породы часто битуминизированы, и в них присутствуют, жило- и каплевидные выделения битумов.

В нефтегазоносных и соленосных толщах часто залегают сероносные и сульфатные отложения, обеспечивающие присутствие в растворах сульфатиона, необходимого для создания сероводородных осадительных барьеров. Нефтегазоносные территории представляют собой гигантские резервуары органического вещества, являющегося основным источником формирования металлоорганических комплексных соединений, в виде которых осуществляется перенос и отложение многих металлов.

В упомянутых выше работах показано, что по таким моделям сформированы стратиформные свинцово-цинковые руды Силезско-Краковского района, Каратау, Северо-Американской платформы, Северной Африки, Средней Азии, медистые песчаники Центральной Европы, осадочные железные руды Керченско-Таманского и Западно-Сибирского бассейнов, марганцевые руды Южно-Украинского и Северо-Уральского бассейнов.

Другая группа месторождений – это объекты, расположенные в мульдах, наложенных на стабилизированный эвгеосинклинальный субстрат; магматические породы здесь неизвестны, хотя предполагается иногда удаленная связь с трахибазальттрахитовым вулканизмом. Руды характеризуются железо-марганец-барит-свинцово-цинковым составом - это полиметаллические месторождения Атасуйского района в Центральном Казахстане, относящиеся рядом авторов к одной из разновидностей колчеданного семейства (см табл. 1). Е.И. Филатов [35] показал, что рудовмещающими породами месторождений Атасуйского района является фаменская субплатформенная (шельфовая) кремнисто-карбонатная толща чехла Казахстанско-Северо-Тяньшанского массива ранней консолидации. Эта толща слагает Жаильминскую мульду, наложенную на стабилизированные, пережившие орогенное развитие, геосинклинальные каледониды. Все это свидетельствует о том, что определение "колчеданный" для объектов Атасуйского района не применимо. Видимо, исходя из этих или близких соображений В.А. Перваго [28] отнес эти объекты к стратиформным. В ряде своих работ [17–19], автор также считал, что месторождения Атасуйского района по своим палеотектоническим особенностям ближе к стратиформным свинцово-цинковым, чем к колчеданным.

Месторождения скарнового (приаргунского) ГПТ представляют собой, по существу, в своем большинстве скарнированные (регенерированные) объекты миргалимсайского типа. Они приурочены к орогенным или орогенно-активизационным вулкано-интрузивным поясам, наложенным либо на края платформ, либо на срединные массивы (массивы ранней консолидации), в чехлах которых уже расположены стратиформные свинцовоцинковые месторождения. По поводу объектов этого типа Г.В. Ручкин с соавторами [23] отмечают: "Совокупность целого ряда геологических факторов позволяет сделать вывод о том, что эти месторождения образовывались в результате контактовых преобразований ранее существовавших свинцово-цинковых месторождений".

Весьма показательными примерами могут служить кайнозойские вулкано-интрузивные пояса Мексики и запада США, в связи с которыми образованы многочисленные и значительные по размерам скарновые свинцово-цинковые месторождения с высокими содержаниями серебра. Причем, чрезвычайно интересен следующий факт: так называемые "непорфировые" средне-позднекаменноугольные свинцово-цинковые руды месторождения Бингем подвержены контактовому воздействию среднепалеогеновых монцонитов, обеспечивших формирование одноименного крупного молибденмеднопорфирового объекта. Принципиально сходная ситуация проявлена в Кураминском вулканоинтрузивном поясе Узбекистана, где позднекаменноугольные сиенито-диориты с молибденмеднопорфировыми рудами месторождений Алмалыкской группы оказывают контактовое метаморфизующее воздействие на позднедевонские стратиформные свинцово-цинковые руды месторождений Кургушинканской группы.

С.В. Ежов [11] на основе изучения, включающего эксперименты по моделированию процессов скарно- и рудообразования, "скарнового" свинцовоцинкового месторождения Алтын-Топкан (Таджикистан) показал следующее. Источником оруденения в скарнах являются стратиформные свинцовоцинковые руды в карбонатных породах позднего девона-раннего карбона. Роль среднекаменноугольных гранитоидов сводится к прогреву этих рудоносных карбонатных пород, созданию конвективного потока растворов, переносящих металлы к контактам интрузий и отложению их в зонах скарнообразования, т.е. к преобразованиям первичных стратиформных рудных залежей. Месторождение Трепча (Стари Трг) в Сербии, расположенное на северо-западном фланге Македонского вулкано-интрузивного пояса считается классическим скарновым, однако, как отмечают А.И. Кривцов и И.Ф. Мигачев [21], оно близко к стратиформным полиметаллическим месторожде-

**Таблица 2.** Динамика текущих запасов свинца/цинка по главнейшим ГПТ (развитые капиталистические и развивающиеся страны)

Table 2. Dynamics of current reserves of lead/zinc on the main GIT (developed capitalist and developing countries)

Год	Группа колч		Стратифо	рмный	Скарн	ювый	Жилі	ьный	Итого, млн т
	ГПТ	Γ <sup>1</sup>	свинцово-і	цинковый					
	Запасы,	Доля в за-	Запасы,	Доля в за-	Запасы,	Доля в за-	Запасы,	Доля в за-	
	млн т	пасах, %	млн т	пасах, %	млн т	пасах, %	млн т	пасах, %	
1961	34.51/54.32	57.1/42.7	11.02/24.54	18.02/22.5	5.74/14.93	9.5/13.7	9.19/23.04	15.2/21.1	60.46/109.01
1966	34.08/59.57	51.4/48.0	17.02/31.64	25.7/25.5	5.54/12.99	8.4/10.5	9.61/19.89	14.5/16.0	66.25/124.09
1971	39.71/71.58	42.3/49.1	34.99/40.50	37.3/27.8	7.28/11.89	7.8/8.2	11.78/21.71	12.6/14.9	93.76/145.68
1976	55.71/110.97	42.2/52.8	58.24/60.66	42.3/28.9	7.78/14.09	5.7/6.7	12.94/24.47	9.5/11.6	136.67/210.19
1981	51.34/108.8	40.8/51.8	53.99/61.76	43.0/29.5	7.76/14.39	6.2/6.9	12.58/24.68	10.0/11.8	125.67/209.65

<sup>&</sup>lt;sup>1</sup>К этой группе относятся: колчеданные месторождения в докембрийских метаморфических толщах, колчеданно-полиметаллические месторождения в вулканогенно-осадочных породах, колчеданно-полиметаллические месторождения в терригенных породах.

ниям в карбонатных толщах, испытавших дислокационный метаморфизм и скарнирование.

12

Свинцово-цинковый стратиформный в терригенных толщах (лайсвалльский) ГПТ представлен небольшим количеством объектов. Они известны в структурах Восточно-Европейской платформы и размещены на двух стратиграфических уровнях. Нижний уровень – это эокембрий (венд или венд-ранний кембрий) Балтийского щита (Швеция), где представлен тиллитовыми толщами, вмещающими согласные вкрапленые существенно свинцовые (с подчиненным количеством цинка) руды [24]. Они залегают, как правило, в чистых кварцевых песчаниках (месторождения Лайсвалль, Вассбо, Майва и др.) и выклиниваются в глинистых песчаниках и глинистых сланцах. Второй уровень - это средний-верхний триас, представленный пестрыми песчаниками, слагающими чехол Рейнского массива эпигерцинской консолидации [35], в котором расположены месторождения Мехерних, Маубах и др. в Германии [25].

Генетическая природа этих месторождений остается невыясненной. Допускается их определенная аналогия с медистыми песчаниками, хотя и без признаков существования геохимических барьеров [8]. Такие объекты иногда называют "свинновистыми песчаниками".

Условно к этому же типу отнесены запасы свинца и цинка, заключенные в месторождениях медистых песчаников, достоверно известные в Джезказгане (Центральный Казахстан) и в Предсудетско-Мансфельдском регионе (Польша, Германия).

Месторождения жильного (садонского) ГПТ формировались, как правило, на орогенных стадиях развития складчатых систем или в активизированных срединных массивах (массивах ранней консолидации). Если объекты всех охарактеризованных выше ГПТ являются согласными или, по крайней мере, субсогласными по отношению к вмеща-

ющим породам, то жильные месторождения являются резко секущими. Они образованы протяженными сложно устроенными жилами или жильными зонами и их системами.

Месторождения свинца и цинка всех ГПТ в структурах Земли и во времени распределены неравномерно, что отмечают, по существу, все исследователи.

Что же касается общих количественных оценок свинца и цинка различных ГПТ в геологической истории Земли, то вопрос этот далеко не однозначен. Эти оценки у разных авторов колеблются в весьма широких пределах. Д.И. Горжевский и П.Я. Шабаршов [7] следующим образом охарактеризовали динамику текущих запасов свинца и цинка на начало 1982 г. (табл. 2).

Н.А. Быховер [1] назвал следующие количества (млн т) свинца/цинка в капиталистических и развивающихся странах по времени образования, но без разделения по ГПТ: докембрий — 24.0/40.8, ранний палеозой — 5.4/3.6, средний—поздний палеозой — 49.1/60.2, мезозой — 6.7/13.5, кайнозой — 16.6/25.6, итого — 101.8/143.7.

Д.И. Горжевский и Е.И. Филатов [35] по той же категории стран на начало 1985 г. оценили запасы свинца в 180 млн т, цинка — в 300 млн т.

В.А. Перваго [29] на начало 1990 г. привел следующие количества общих мировых запасов (с учетом отработанных за все время освоения месторождений): свинец —  $280\,$  млн т, цинк —  $495\,$  млн т. Распределение местрождений по ГПТ и времени формирования показаны в табл. 3.

В работе [3] по состоянию на 1990 г. приведены следующие величины мировых запасов: свинца – 125.7 млн т, цинка – 898.2 млн т. В.В. Попов [30] оценил на 1997 г. общемировые запасы свинца в 137.5 млн т, цинка – 323.9 млн т. По данным Ежегодника Геологической службы США (Mineral Commodity Summaries – MCS) текущие мировые

<sup>&</sup>lt;sup>1</sup>This group include: massive sulphide deposits in Precambrian metamorphic strata, massive sulphide-polymetallic deposits in a volcanosedimentary rocks, massive sulphide-polymetallic deposits in clastic rocks.

**Таблица 3.** Распределение восстановленных запасов свинца/цинка по ГПТ и времени их формирования (в % от мировых запасов)

Table 3. Distribution of recovered reserves of lead/zinc by GIT and the time of their formation (in % of world reserves)

ГПТ	AR	PR	PZ	MZ	KZ	Всего
Колчеданный	5.1/10.2	7.4/11.5	17.2/23.7	1.2/0.9	2.1/3.0	33.0/49.3
Осадочный		13.7/10.1	27.5/17.7	4.0/7.8	0.5/0.7	45.7/36.3
В том числе,						
эпиплатформенный			21.8/11.6	3.6/6.9	0.5/0.7	25.9/19.2
перикратонный		-/1.4	0.6/2.6		_/_	0.6/4.0
субгеосинклинальный		13.7/8.7	5.1/4.1	0.4/0.9	_/_	19.2/13.7
Трещинно-метасоматический					5.7/3.9	5.7/3.9
Трещинно-жильный			3.5/2.4		8.5/4.4	12.0/6.8
Скарновый			1.6/1.0	1.8/1.6	0.2/0.5	3.6/3.1
Всего	5.1/10.2	21.1/21.6	49.8/45.4	7.0/10.3	17.0/12.5	100.0/100.0

Примечание. К эпиплатформенным и перикратонным В.А. Перваго [28] отнесены объекты, которые в других классификациях рассматриваются в качестве стратиформных. Субгеосинклинальные месторождения – это частично стратиформные, а частично колчеданные филизчайского типа.

Note. To epiplatformal and perioratonal V.A. Pervago [28] assigned objects that other classifications are considered as stratiform. Subgeosinklinalnye deposits – are in part stratiform and in part massive sulphide filizchayskii type.

запасы свинца в 1994—2009 г.г. колебались в пределах 120—170 млн т, цинка — 330—480 млн т.

При этом соотношение запасов этих металлов по ГПТ месторождений и времени их формирования, нигде, кроме, как у В.А. Перваго [28, 29], не рассматривались и не анализировались. В определенной мере эта задача решалась автором [17] применительно к объектам колчеданного семейства, а также А.Л. Дергачевым с соавторами [10] применительно ко всем типам месторождений свинца и цинка. Эти исследования с применением вероятностного математического анализа показали, что наиболее важными металлогеническими эпохами формированияя свинцово-цинкового оруденения являются неоархейская, палео-мезопротерозойская, неопротерозойско-палеозойская и мезозойско-кайнозойская, в течение которых образовано 486.9 млн т. свинца и 1131.8 млн т цинка в объектах всех типов. Таким образом, из приведенных данных можно видеть весьма существенные различия в оценках общих мировых количеств свинца и цинка. Это позволило еще раз обсудить данную проблему как в плане оценки запасов этих металлов в объектах всех ГПТ, так и в плане распределения их во времени, причем не по крупным металлогеническим эпохам, а по конкретным геологическим возрастам. Для решения этой задачи автором собрана и обобщена информация, опубликованная в отечественных и зарубежных источниках по 489 объектам. При этом были использованы данные по количеству запасов (включая отработанные) руды и металлов на оцениваемых объектах. Под оцениваемым объектом понимается рудный район, рудное поле, группа месторождений или отдельное месторождение, по которым собрана эта информация. Так, в качестве одного оцениваемого объекта учтен Силезско-Краковский рудный район (иногда называемый бассейном) с 6 месторождениями, район Верхнемиссисипской долины — с не менее чем 25 месторождениями, Ледвиллская группа месторождений — не менее 10 единичных объектов, Нерчинская группа месторождений — 16 единичных объектов и т.д. О множественности оцениваемых объектов колчеданного семейства речь шла ранее [17, 20].

Результаты выполненного обобщения приведены на рис. 2 и в табл. 4. Размещение запасов руды, свинца и цинка в объектах различных ГПТ в стратиграфической последовательности Земли показано на рис. 3 и в табл. 5.

Согласно выполненным автором оценкам в структурах Земли, по крайней мере со второй половины архея и по четвертичное время включительно, накоплено не менее 17.3 млрд т руды, содержащей более 317 млн т свинца и 600.8 млнт цинка в объектах всех ГПТ (см. табл. 4).

## ДОПАЛЕОЗОЙ

Свинцово-цинковая рудоносность раннего докембрия (поздний архей, ранний протерозой) связана исключительно с объектами колчеданного семейства. Они были сформированы в зеленокаменных поясах Канадского, Балтийского и Индостанского щитов [31].

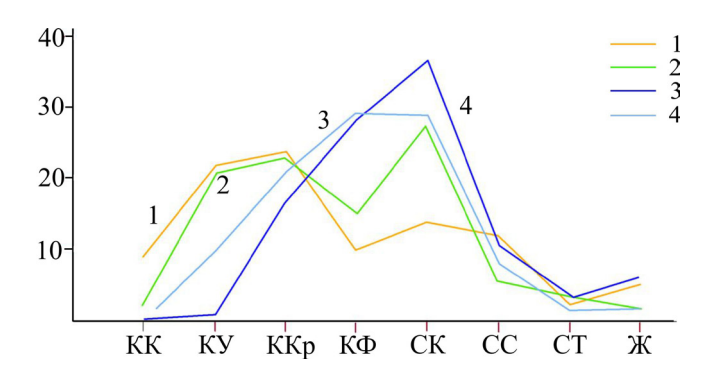
К позднему архею относятся колчеданные месторождения зеленокаменных поясов Канадского и Индостанского щитов, большинство из которых принадлежит уральскому типу (рудные поля Тимминс, Кидд-Крик, Норанда, Матагами, Норметал, Пурье в Канаде, Мадхан-Кудхан, Колихан, Радха и др. в Индии). Эти преимущественно крупные месторождения, имеющие медно-цинковый состав руд со значительным преобладанием цинка, обеспечили накопление почти 80% запасов "архейского"

**Таблица 4.** Распределение месторождений свинца и цинка по геолого-промышленным типам и времени их образования (п – количество объектов, руда – запасы руды, млн т, Pb, Zn – запасы свинца и цинка, тыс. т, % – их средние содержания) **Table 4.** Distribution of lead and zinc deposits of geological-industrial types find the time of their formation (n – number of objects, ore – ore reserves, mln. t, Pb, Zn lead and zinc reserves, t., % – their average content)

(ax												161			21						——	
подоп хілі	<u>Zn</u> %					$\frac{7182.0}{10.0}$	$\frac{7578.9}{4.14}$	28137.1	$\frac{42898.0}{6.33}$		$\frac{26514.7}{4.08}$	43815.5 3.19	18192.0 6.85	$\frac{17883.0}{1.18}$	$\frac{106405.2}{2.82}$	7197.6	12107.3 12.41		<u>19304.9</u> 9.97		168608.1 3.63	28.1
Стратиформный в карбонатных породах	<u>Pb</u> %					$\frac{1454.0}{2.02}$	$\frac{4197.1}{2.29}$	7522.2 1.78	$\frac{13173.3}{1.94}$		9333.8 1.44	<u>26709.3</u> 1.92	8091.6 3.05	$\frac{51126.9}{3.37}$	95261.6 2.45	<u>2386.3</u> 2.79	<u>2661.5</u> 2.73		<u>5047.8</u> 2.61		113482.7 2.44	35.8
формный	Руда					71.9	182.9	423.3	678.1		649.5	1340.3	265.4	1517.4	3772.6	96.1	9.76		193.7		4644.4	26.9
Страти	п					4	6	11	24		12	16	7	4	39	9	7		13		92	15.5
	<u>Zn</u> %	$\frac{2062.0}{55.0}$			$\frac{2062.0}{55.0}$	$\frac{610.0}{4.36}$	3.83	140.0	<u>6848.8</u> 3.90	<u>780.0</u> 26.0	$\frac{21744.0}{13.51}$	14969.0 8.42	10601.0 5.68	4160.0 16.0	<u>52254.0</u> 9.43	<u>32957.0</u> 4.07	<u>63209.0</u> 7.30	12703.0 6.98	108869.0 5.86	<u>2756.0</u> 4.13	$\frac{172789.8}{6.50}$	28.7
Колчеданный филизчайский	<u>Pb</u> %	$\frac{3.8}{0.1}$			$\frac{3.8}{0.1}$	$\frac{520.0}{3.71}$	$\frac{2107.0}{1.32}$	3.0	2687.0 1.53	210.0 7.0	<u>6926.0</u> 4.3	<u>5615.0</u> 3.16	4971.0	$\frac{1002.0}{3.85}$	18724.0 3.37	<u>17049.0</u> 2.11	48705.0 5.63	2492.0 1.37	<u>68246.0</u> 3.67	<u>270.5</u> 0.40	89931.3 3.38	28.4
лчеданн	Руда	3.8			3.8	14.0	159.4	2.0	175.4	3.0	161.0	177.7	186.7	26.0	554.4	809.2	865.3	182.0	1856.5	8.99	2656.9	15.4
Ko	п				1	2	S	_	∞		4	9	7	4	22	7	9	4	17	3	51	10.4
ЭОКО	$\frac{Zn}{\%}$		$\frac{7602.0}{6.49}$		$\frac{7602.0}{6.49}$	3364.3 2.46	$\frac{857.9}{5.11}$	16.5 16.5	<u>4238.7</u> 2.76	<u>543.2</u> 5.03	$\frac{43587.0}{2.34}$	$\frac{21853.0}{3.04}$	22009.0 4.0	$\frac{17125.0}{5.0}$	$\frac{105117.2}{3.02}$	902.0 4.88		8555.9 2.2	9457.9 2.34	1440.0 8.0	127855.8 3.06	21.3
Колчеданный куроко	<u>Pb</u> %		$\frac{3051.5}{2.60}$		$\frac{3051.5}{2.60}$	648.6 0.47	<u>404.3</u> 2.41	2.2	$\frac{1055.1}{0.69}$	15.1 0.14		7280.8	8310.2 1.52	4676.5	36917.6 1.06	$\frac{138.0}{0.75}$		$\frac{10439.0}{2.71}$	$\frac{10577.0}{2.62}$	135.0 0.75	<u>51736.2</u> 1.24	16.3
Колчед	Руда		117.2		117.2	136.9	16.8	0.1	153.8	10.8	1861.0	717.9	547.8	342.0	3479.5	18.5		385.5	404.0	18.0	4172.5	24.2
	п		∞		8	4	5		10	-	22	29	20	12	<u>*************************************</u>	8		13	16	-	119 2	24.3
ъский	$\frac{Zn}{\%}$	$\frac{4550.0}{4.46}$		$\frac{13.5}{0.02}$	$\frac{4563.5}{2.74}$		$\frac{550.0}{0.73}$		$\frac{550.0}{0.20}$			26385.6 1.5	7621.7 1.51		34007.3	935.0 2.34		<u>3890.9</u> 2.74	4825.9 2.51	15178.0 2.13	<u>59124.7</u> 1.64	8.6
Колчеданный уральский	<u>Pb</u> %	$\frac{110.0}{0.11}$			$\frac{110.0}{0.07}$							$\frac{1365.7}{0.08}$	285.5 0.06		$\frac{1651.2}{0.07}$			$\frac{268.1}{0.19}$	268.1 0.14	324.7 0.05	$\overline{}$	0.7
чеданн	Руда	102.0		64.2	166.2		75.5	198.0	273.5			1762.0	505.0		2267.0	40.0	10.0	142.0	192.0	712.0	3610.7	20.9
Кол	n	2		4	9		3	7	10			42	59		71	2	7	4	∞	10	105	21.5
Колчеданный кипрский	Zn %	$\frac{1455.0}{3.94}$			$\frac{1455.0}{3.94}$	$\frac{512.0}{1.01}$	12.5 0.43		<u>524.5</u> 1.00	157.0 0.5			$\frac{139.0}{0.35}$		296.0 0.41	<u>285.0</u> 0.47	0.3	300.0	<u>585.3</u> 0.65		2860.8 1.13	0.5
ый кип	Bl%	$\frac{3.4}{0.01}$			$\frac{3.4}{0.01}$	$\frac{4.7}{0.01}$			$\frac{4.7}{0.008}$	0.002			$\frac{1.1}{0.003}$		$\frac{1.7}{0.002}$			$\frac{1.4}{0.005}$	1.4 0.002		$\frac{11.2}{0.004}$	<0.1
еданн	Руда	36.9		,	36.9	50.7	2.9		53.6	31.4			40.0		71.4	61.1	0.3	28.8	90.2		252.1	1.5
Колч		7			7	1			12	S			11		16	S		7	∞		38	7.8
	Возраст	0	Z	đ	Итого КZ	K	J	Н	Итого MZ	Ь	C	О	S-O	<b>4</b>	Итого PZ	PR <sub>3</sub> (RF <sub>3</sub> +V)	$\begin{array}{c} PR_2 \\ (RF_{1+2}) \end{array}$	PR <sub>1</sub>	Итого РК	AR	ВСЕГО	% к обще- му кол-ву

Таблица 4. Окончание

Возраст	Ç	,		CTDAT	Trypopy		OH AL HILL												
	;	Скарновый		CIPE.	Стратиформный рс		в терригенных по- дах		¥	Жильный			I	Итого		<u>~</u>	% к общему кол-ву	лу кол-	By
	Руда	<u>94</u>	$\frac{Zn}{\%}$	п	Руда	<u>Pb</u> %	Zn %	n	Руда	<u>Pb</u> %	$\frac{Zn}{\%}$	n	Руда	<u>Pb</u> %	$\frac{Zn}{\%}$	n	Руда	Pb	Zn
0												S	142.7	117.2 0.08	8067.0 5.65	1.0	8.0	<0.1	1.3
Z								9	42.1	<u>2320.4</u> 5.51	2727.6 6.48	4	159.3	3.37	10329.6 6.48	2.9	6.0	1.7	1.7
đ								∞	121.1	<u>5536.9</u> 4.57	6281.7 5.19	12	185.3	<u>5536.9</u> 3.00	$\frac{6295.2}{3.40}$	2.4	1:1	1.7	1:1
Итого КZ								41	163.2	7857.3 4.81	9009.3 5.52	31	487.3	11026.0 2.26	$\frac{24691.8}{5.07}$	6.3	2.8	3.5	4.1
K 30	157.5	<u>7917.9</u> 5.03	13605.5 8.64					7	114.1	8401.9 7.36	<u>3918.5</u> 3.43	53	545.1	3.48	<u>29192.3</u> 5.36	10.8	3.2	0.9	4.9
<u>F</u>								∞	28.1	<u>520.6</u> 1.85	<u>758.5</u> 2.7	31	465.6	$\frac{7229.0}{1.55}$	15856.6 3.41	6.4	2.7	2.3	2.6
Т 3	83.4	<u>5054.5</u> 6.06	$\frac{3240.2}{3.88}$	8	370.0	<u>2904.0</u> 0.78	$\frac{4798.0}{1.30}$	-	8.0	$\frac{170.0}{20.53}$	90.0 10.87	27	1077.6	15712.9 1.29	$\frac{36421.8}{3.34}$	5.5	6.2	4.9	6.1
Итого МZ 33	240.9	12972.4 5.38	16845.7 6.84	8	370.0	<u>2904.0</u> 0.78	$\frac{4798.0}{1.30}$	11	143.0	9092.5 6.36	<u>4767.0</u> 3.33	111	2088.3	41889.0 2.00	$\frac{81470.7}{3.90}$	22.7	12.1	13.2	13.6
P 2	2.9	$\frac{287.2}{9.90}$	$\frac{382.6}{13.20}$	-	8.9	$\frac{251.0}{3.69}$	$\frac{376.0}{5.47}$					10	54.9	763.9 1.39	$\frac{2238.8}{4.08}$	2.0	0.3	0.2	0.4
C 2	83.9	4097.4	1885.5 2.25		98.4	1427.9 1.45	$\frac{503.6}{0.51}$	_	10.3	376.7	662.9 6.44	42	2864.1	38796.8 1.35	94897.7 3.31	8.6	16.6	12.2	15.8
D 4	161.2	3660.1 2.27	$\frac{4052.4}{2.51}$									97	4159.1	44630.9 1.07	$\frac{111075.5}{2.67}$	19.8	24.1	14.1	18.5
S-O 3	6.4	340.0 5.31	420.0 6.56									77	1551.3	21999.4 1.42	<u>58982.7</u> 3.80	15.8	9.0	6.9	8.6
е 8	107.6	4776.4	6543.9 6.08									28	1993.0	61581.8 3.09	$\frac{45711.9}{2.29}$	5.7	11.6	19.5	7.6
19 Zc	362.0	3.64	<u>13284.4</u> 3.67	7	105.2	1678.9 1.60	879.6 0.84	_	10.3	376.7	662.9 6.44	254	10622.4	167772.8 1.58	<u>312906.6</u> 2.95	51.9	61.6	52.9	52.1
5	404.0	$\frac{6959.0}{1.72}$	$\frac{17883.0}{4.43}$	5	95.0	$\frac{3862.0}{4.06}$	$\frac{351.0}{0.37}$					33	1523.9	$\frac{30394.3}{2.00}$	$\frac{60510.6}{3.97}$	8.9	8.8	9.6	10.1
$\begin{array}{c c} PR_2 & 7 \\ (RF_{1+2}) & \end{array}$	29.8	<u>657.7</u> 2.21	$\frac{1117.1}{3.75}$									23	1003.0	$\frac{52024.2}{5.19}$	<u>76433.7</u> 7.62	4.7	5.8	16.4	12.7
PR												23	738.3	13200.5 1.79	25449.8 3.44	4.7	4.3	4.2	4.2
Mroro PR $12$	433.8	$\frac{7616.7}{1.76}$	$\frac{19000.1}{4.38}$	5	95.0	3862.0 4.06	$\frac{351.0}{0.37}$					79	3265.2	$\frac{95619.0}{2.93}$	$\frac{162394.1}{4.97}$	16.2	18.9	30.2	27.0
AR												4	796.8	$\frac{730.2}{0.09}$	19374.0 2.43	2.9	4.6	0.2	3.2
64	1036.7	33750.2 3.24	<u>49130.2</u> 4.74	10	570.2	8444.9 1.48	<u>6028.6</u> 1.06	56	316.5	17326.5 5.47	14439.2 4.56	489	17260.0	317037.0	<u>600837.2</u> 3.48		100.0   100.0   100.0   100.0	100.0	100.0
% к обще- му кол-ву	0.9	10.6	8.2	2.0	3.3	2.6	1.0	5.4	1.8	5.5	2.4	100.0	100.0	100.0	100.0	100.0			



**Рис. 2.** Распределение месторождений свинца и цинка по геолого-промышленным типам.

1 – количество объектов, 2 – запасы руды, 3 – запасы свинца, 4 – запасы цинка.

Здесь и на рис. 3: геолого-промышленные типы: КК – колчеданный кипрский, КУ – колчеданный уральский, ККр – колчеданный куроко, КФ – колчеданный филизчайский, СК – стратиформный свинцовоцинковый в карбонатных породах, СС – свинцово-цинковый скарновый (стратиформный свинцово-цинковый в карбонатных породах, скарнированный), СТ – стратиформный свинцово-цинковый в терригенных породах, Ж – свинцово-цинковый жильный.

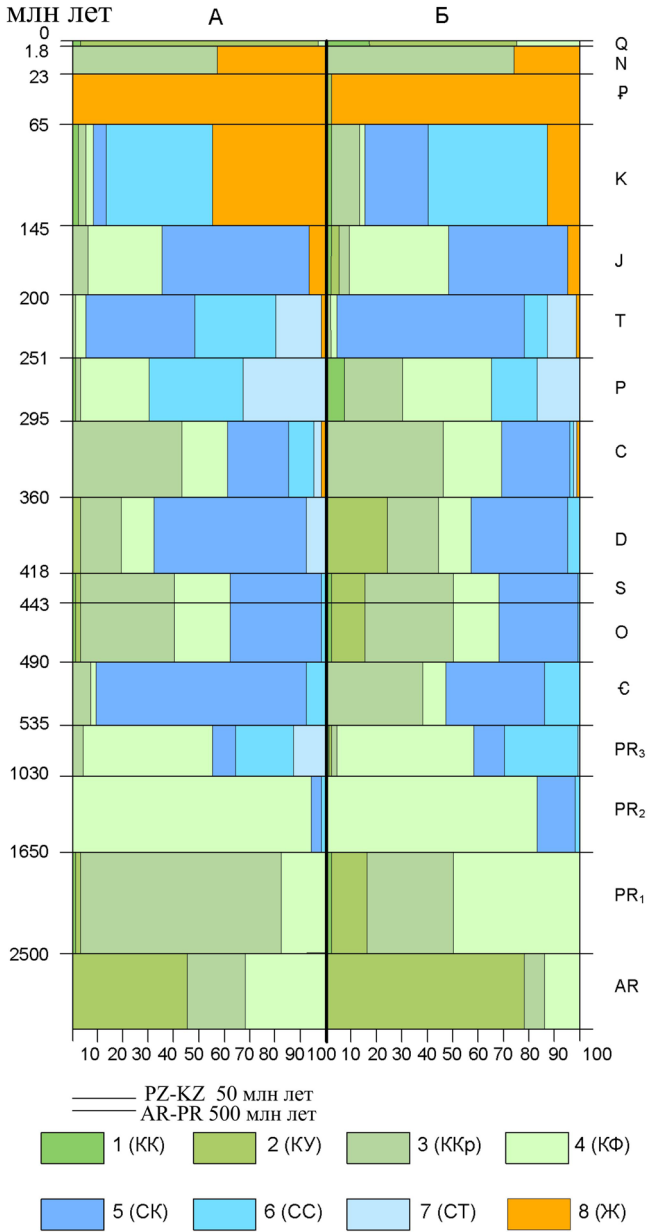
Fig. 2. Distribution of lead and zinc deposits of geological-industrial types.

1 – the number of objects, 2 – ore reserves, 3 – reserves of lead, 4 – reserves of zinc.

Here and on Fig. 3: geological-industrial types: KK-massive sulphide Cyprus, KY-massive sulphide Urals, KKp-massive sulphide Kuroko,  $K\Phi-mas$ sive sulphide Filizchay, CK-stratiform lead-zinc carbonate-hosted, CC-skarn lead-zinc (stratiform, converted to skarns), CT-stratiform lead-zinc clastic-hosted, W-lead-zinc vein.

цинка. Количество объектов других типов ограничено — это Амбажди-Дери в Индии, Манитоуэдж, Чайсл-Лейк в Канаде (филизчайский тип) и рудный район Стерджен-Лейк (Онтарио, Канада), относящийся к типу куроко. Эти объекты содержат свыше 55% запасов "архейского" свинца и только около 22% — цинка.

Колчеданоносность раннего протерозоя как бы наследует архейскую, она реализована по существу в тех же структурах и характеризуется существенным преобладанием колчеданно-полиметаллических объектов типа куроко и филизчайского. Они сложены свинцово-цинковыми рудами с невысокими содержаниями меди. Объекты типа куроко распространены на Канадском (месторождения Вермильон-Лейк, Эрингтон), Балтийском (рудные районы Фалун, Шелефтео, Виханти-Ориярви) и Африканском (месторождения Эггенис, Блэк-Маунтин, Брокен-Хилл, Соньяти) щитах, а филизчайского типа, помимо этих структур (месторождение Сноу-Лейк, Канада; Гамсберг, ЮАР), известны также на Индостанском щите (Дараба-Раджпура). В колчеданно-полиметаллических объектах заключено почти 80% запасов руды, содержащей почти



**Рис. 3.** Геохронологическое размещение геологопромышленных типов месторождений свинца (A) и цинка (Б).

**Fig. 3.** Geochronologic location industrial types of geological – of lead (A) and zinc (Β) deposits.

весь свинец и свыше 80% цинка данного возрастного уровня. Небольшое количество объектов уральского типа с медно-цинковыми рудами представлено в зеленокаменных поясах Канадского щита (рудные районы Флин-Флон, Шеридон, Раттен, Джером), а также, вероятно, на Южно-Китайской платформе (месторождение Лаохань, провинция Сычуань). К этому же времени относится образование первых существенно медных месторождений кипрского типа на Балтийском щите (Оутокумпу,

Таблица 5. Рудоносность (%) стратиграфических уровней

Table 5. Ore (%) of stratigraphic levels

Возраст	Запасы данного возрастного уровня:	данный	Колче- данный	Колче- данный	Колче- данный	Страти- формный в		Страти- формный	Жиль- ный	Итого
	руда, млн.т	кипрский	ураль-	куроко	филиз-	карбонат-	скарниро-	в терри-		
	<u>Рь, тыс.т</u>		ский		чайский	ных толщах	ванный	генных		
	Zn, тыс.т	2.5.0						толщах		100
Q	142.7	<u>25.9</u>	71.4		2.7 3.2					100
	117.2 8 067.0	2.9 18.0	93.9 56.4		25.6					100 100
N	159.3	16.0	30.4	<u>73.6</u>	23.0				<u> 26.4</u>	100
14	5 371.9			<u>75.0</u> <u>56.8</u>					43.2	100
	10 329.6			73.6					26.4	$\frac{100}{100}$
₽	<u>185.3</u>		<u>34.6</u>						<u>65.4</u>	<u>100</u>
	<u>5 536.9</u>		0.0						<u>100.0</u>	<u>100</u>
	6 295.2		0.2						99.8	100
K	545.1	9.3		<u>25.1</u>	2.6	<u>13.2</u>	<u>28.9</u>		<u>20.9</u>	100
	18 947.1 29 192.3	<u>&lt;0.1</u> 1.8		3.4 11.5	$\frac{2.7}{2.1}$	7.7 24.6	41.8 46.6		44.3 13.4	100 100
J	465.6	0.6	16.2	3.6	34.2	39.4	40.0		6.0	100
J	7 229.0	$\frac{0.0}{0.0}$	$\frac{10.2}{0.0}$	<u>5.6</u>	<u>29.1</u>	<u>58.1</u>			$\frac{0.0}{7.2}$	100
	15 856.6	< 0.1	$\frac{3.5}{3.5}$	$\frac{5.6}{5.4}$	$\frac{25.1}{38.5}$	47.7			4.8	$\frac{100}{100}$
T	<u>1 077.6</u>		<u>18.4</u>	<u>&lt;0.1</u>	0.2	39.2	<u>7.7</u>	<u>34.3</u>	<u>&lt;0.1</u>	<u>100</u>
	<u>15 712.9</u>		0.0	<u>&lt;0.1</u>	<u>0.4</u>	47.8 77.2	<u>32.1</u>	<u>18.5</u>	<u>1.1</u>	<u>100</u>
_	36 421.8		0.0	< 0.1	0.4	77.2	8.9	13.2	0.2	100
P	<u>54.9</u>	<u>57.1</u>		$\frac{19.7}{2.0}$	<u>5.5</u>		<u>5.3</u>	$\frac{12.4^{1}}{22.01}$		100
	763.9 2 238.8	<0.1 7.0		2.0 24.3	<u>27.5</u> 34.8		37.5 17.1	$\frac{32.9^{1}}{16.8^{1}}$		100 100
С	2 236.8 2 864.1	7.0		65.0	5.6	22.7	2.9	$\frac{10.8^{2}}{3.4^{2}}$	<u>0.4</u>	100
C	<u>2 804.1</u> <u>38 796.8</u>			42.9	17.8	$\frac{22.7}{24.0}$	10.6	3.4 <sup>-</sup> 3.7 <sup>2</sup>	<u>0.4</u> <u>1.0</u>	$\frac{100}{100}$
	94 897.7			45.9	$\frac{17.0}{23.0}$	27.9	$\frac{10.0}{2.0}$	$\frac{3.7^2}{0.5^2}$	$\frac{1.0}{0.7}$	100
D	<u>4 159.1</u>		<u>42.3</u>	<u>17.3</u>	4.3	<u>32.2</u>	<u>3.9</u>			<u>100</u>
	<u>44 630.9</u>		<u>3.1</u>	<u>16.3</u>	<u>12.6</u>	<u>59.8</u>	<u>8.2</u>			<u>100</u>
~	111 075.5		23.8	19.7	13.5	39.4	3.6			100
S	1 551.3	2.6	32.6	35.3	12.0	<u>17.1</u>	$\frac{0.4}{1.5}$			100
O	21 999.4 58 982.7	<u>&lt;0.1</u> 0.2	1.3 13.0	37.7 37.3	22.6 18.0	36.8 30.8	$\frac{1.5}{0.7}$			100 100
$\epsilon$	1 993.0	0.2	13.0	17.2	1.3	76.1	5.4			100
C	61 581.8			7.6	1.6	83.0	$\frac{5.1}{7.8}$			100
	45 711.9			37.6	9.1	39.1	14.3			100
$PR_3$	<u>1 523.9</u>	<u>4.0</u>	<u>2.6</u>	<u>1.2</u>	<u>53.1</u>	<u>6.3</u>	<u>26.6</u>	<u>6.2</u>		<u>100</u>
$(RF_3+V)$	30 394.3	0.0	0.0	0.4	<u>56.1</u>	7.9	<u>22.9</u>	12.7		100
DD	60 510.6	0.5	1.5	1.5	54.4	11.9	29.6	0.6		100
$PR_2$	$\frac{1003.0}{52.024.2}$	$\frac{<0.1}{0.0}$	$\frac{0.9}{0.0}$		86.3	9.7 5.1	$\frac{3.0}{1.2}$			$\frac{100}{100}$
$(RF_{1+2})$	52 024.2 76 433.7	<u>0.0</u> <0.1	$\frac{0.0}{0.0}$		93.6 82.7	15.8	1.3 1.4			$\frac{100}{100}$
$PR_1$	738.3	3.9	19.2	<u>52.2</u>	24.7 24.7	15.0	1.7			100
1	$1\overline{3} \ 200.5$	<u>≤0.1</u>	$\frac{19.2}{2.0}$	<u>79.0</u>	18.9					$\frac{100}{100}$
	25 449.8	1.2	15.3	33.6	49.9					100
AR	<u>796.8</u>		<u>89.3</u>	2.3	<u>8.4</u>					<u>100</u>
	730.2		44.5	<u>18.5</u>	37.0					100
	19 374.0		78.4	7.4	14.2					100

<sup>&</sup>lt;sup>1</sup>Относительные количества запасов руды, свинца и цинка в месторождениях медистых песчаников Мансфельда. <sup>2</sup>Относительные количества запасов руды, свинца и цинка в месторождениях медистых песчаников Джезгазгана.

Вуонас), что отражает, как это полагает В.Е. Ха-ин [36], наиболее ранние проявления офиолитов в истории Земли.

Средний и поздний протерозой являются одними из наиболее продуктивных в истории Земли эпох накопления свинца и цинка (почти 15.5%

<sup>&</sup>lt;sup>1</sup>The relative amounts of reserves of ore, lead and zinc in Mansfeld copper sandstone deposits. <sup>2</sup>The relative amounts of reserves of ore, lead and zinc in Dzhezgazgan copper sandstone deposits.

мировых запасов руды, содержащей 26% запасов свинца и почти 23% цинка). Решающее значение при этом имеют крупные и богатые колчеданные месторождения филизчайского типа, развитые в подвижных байкалидах на обрамлениях древних платформ либо в троговидных структурах внутри платформ (эпикратонные геосинклинали, по Г.В. Ручкину). К числу этих месторождений относятся: в среднем протерозое – Брокен-Хилл, Маунт-Айза, Леди Лоретта, Хилтон (Австралия), Салливан, Кутеней-Кинг (Канадские Кордильеры), в позднем протерозое – рудное поле Энвил (Канадские Кордильеры), Холоднинское (Северное Забайкалье), Горевское, Линейное (Енисейский кряж), Текели, Коксуй (Джунгария, Восточный Казахстан), Приска (Южная Африка).

Важным металлогеническим событием, произошедшим в среднем и позднем протерозое, является образование первых стратиформных свинцовоцинковых месторождений в карбонатных толщах. Они располагаются как в чехлах древних платформ, так и в массивах ранней стабилизации (срединных массивах) в более молодых складчатых областях. В карбонатных чехлах древних платформ размещены месторождения: на Северо-Американской платформе – Балмат-Эдуардс (США), Нэнисивик (Канада), Блэк-Энджел (Гренландия), на Восточно-Европейской платформе – Кужинское, Верхне-Аршинское, Медведевское и др., на Сибирской платформе – Сардана, Уруй, Перевальное, на Китайской платформе – Тэн-Бао-Шань, Ситешань, на Африканской платформе – Комбат, Цумеб и др. (Намибия), а также на Южно-Американской платформе – Византии, Морру-Агуду (Бразилия). Наряду с месторождениями в карбонатных толщах, на некоторых из названных структур известны регенерированные объекты, такие, как месторождения Центральной Намибии (Стар-Цинк, Эксельсиор-Цинк, Карманор и др.), Таолинь (Китай), а также Шехкух, Таджкух, Мехдиабад и др. (Иран). Последние расположены в карбонатном чехле Центрально-Иранского срединного массива, обрамленного и деформированного мезозойско-кайнозойскими вулкано-интрузивными образованиями. Для эокембрия (венда) Балтийского щита характерными являются стратиформные месторождения в терригенных толщах – Лайсвалль, Вассбо и др., приуроченные к тиллитам и представляющие собой залежи существенно свинцовых руд в чистых кварцевых песчаниках.

### ФАНЕРОЗОЙ

Рудоносность фанерозоя значительно превышает допалеозойскую как по общему количеству объектов (в 4.2 раза), так и общему количеству руды (более 3 раз) и запасам свинца и цинка (в 2.3 раза). При этом наибольшая продуктивность приходится на палеозой, а в нем — на девонский период.

Рудоносность кембрийского периода не отличается многообразием. Особенностью этого времени является существование геократического режима и обширных областей с континентальной корой. Это предопределило преимущественное образование стратиформных свинцово-цинковых месторождений в карбонатных породах, а в колчеданном семействе – объектов типа куроко. Наиболее значительным ареалом стратиформных свинцовоцинковых объектов в карбонатных породах является Северо-Американская платформа с крупными и богатыми (с преобладанием свинца) месторождениями районов Нью-Миссури (Вибурнум), Остинвилл-Айванхо, Юрика, ЮВ Миссури. В западных районах платформы под воздействием кайнозойских вулкано-интрузивных поясов Кордильер проявлены регенерированные (скарнированные) месторождения районов Центрального и Восточного Тинтика, Пиоч (США), а также Блубелл (Канада). За пределами Северо-Американской платформы скарновые (скарнированные) свинцово-цинковые месторождения известны в Сардинии (Монтепиони и др.), в пределах южного складчатого обрамления Сибирской платформы (Нерчинская группа), а также на Китайско-Корейской платформе (Йонхва I, II). Кембрийские колчеданно-полиметаллические месторождения типа куроко широко распространены – это Салаирское рудное поле в Западной Сибири, Кызыл-Таш, Кызыл-Таштыг в Восточной Сибири, Лешул-Урсул, Бэлан в Карпатах Румынии, Маунт-Ляйель, Ред-Розбери, Хеллиер в Тасмании.

Ордовик и силур ознаменовались преимущественным развитием колчеданного оруденения, на долю которого приходится около 90% объектов, содержащих до 80% запасов руды и 65-70% запасов свинца и цинка. Наиболее значимой колчеданоносной структурой этого времени является каледонский Уральско-Скандинавско-Аппалачский глобальный металлогенический пояс, сформировавшийся на обрамлениях Восточно-Европейской и Северо-Американской платформ. Уральские каледониды состоят из трех сегментов - Тагильского, Сакмарского и западных зон Западно-Магнитогорского. Объекты Тагильского (Тарньерско-Шемурский, Тагило-Красноуральский, Левихинский ные районы) и Сакмарского (Медногорский рудный район) сегментов имеют позднеордовикскораннесилурийский возраст, они обладают медноцинковыми рудами и относятся к уральскому типу. В раннепалеозойских офиолитах Западно-Магнитогорского пояса залегают мелкие месторождения кипрского типа (Ишкининское, Ивановское, Дергамышское, Маукское и др.), а в разрезах бимодальных формаций – месторождения уральского (Бурибай, Юбилейное) и куроко (Баймакский рудный район) типов. В Скандинавско-Британских каледонидах соотношение объектов уральского (месторождения Леккен, Сулихьельма, Тверрфьеллет, Йома, Скурувас в Норвегии) и куроко (Стеккеньок, Рикарбеккен, Анкарватнет в Швеции, Авока в Ирландии, Парис-Маунтин в Англии) типов примерно одинаково. Филизчайский тип в этом регионе представлен месторождениями Муфьель, Блейквасли (Норвегия), а также Ситронен-Фиорд (Северная Гренландия). В каледонидах Аппалачей преобладают месторождения типов куроко (рудные районы Баченс, Батерс-Ньюкасл) и кипрского (Литл-Бей, Титл-Ков, Бетс-Ков и другие). Резко подчиненное значение имеют мелкие месторождения уральского типа, такие как Галбридж, Пиллиз-Айланд.

Размещение в Уральско-Скандинавско-Аппалачском каледонском металлогеническом поясе колчеданных месторождений различных геолого-промышленных (рудноформационных) типов отражает неравномерность его раскрытия по простиранию. В одних частях этой структуры происходила полная деструкция докаледонской континентальной коры с образованием офиолитов и дифференцированных вулканогенных формаций с месторождениями кипрского и уральского типов, тогда как в других частях пояса были сохранены и вовлечены в переработку блоки этой континентальной коры, что способствовало образованию месторождений типов куроко и филизчайского.

За пределами Уральско-Скандинавско-Аппалачского пояса ордовик-силурийские колчеданные месторождения известны в Акбастау-Кушмурунском и Майкаинском рудных районах в Центральном Казахстане, Восточной Австралии (Кэптейнс-Флэт, Вудлон), где они принадлежат типу куроко. К филизчайскому типу относятся такие месторождения этого возраста, как Боудвин (Бирма), Говард-Пасс (территория Юкон, Канада), Элура (Восточная Австралия).

Стратиформные свинцово-цинковые месторождения в карбонатных породах располагаются в двух удаленных друг от друга регионах. Более значительным из них является Северо-Американская платформа, в ордовикском карбонатном чехле которой залегают месторождения Верхнемиссисипской долины, Маскот-Джефферсон-Сити (США), группы Корнуолес, Поларис (Канада). Другим ареалом объектов этого типа является северо-восточная окраина Восточно-Европейской платформы, в ордовикско-силурийском карбонатном чехле которой расположены месторождения Саурейское, Илычской группы, Раздельное (о-в Вайгач).

Интенсивность как палеозойского, так и в целом фанерозойского, свинцово-цинкового рудообразования достигла своего максимума в девоне. Рудоносность этого времени связана с колчеданными и стратиформными месторождениями различных ГПТ. Девонское, преимущественно среднедевонское, колчеданообразование охватило обширные пространства Евразии – от побережья Атлантического океана до Рудного Алтая. Оно проявилось

также в Кордильерах и в Австралии. Однако основными колчеданоносными провинциями мира этого времени являются Урал и Рудный Алтай. Именно среднедевонские месторождения Урала явились генотипом для выделения соответствующего геологопромышленного (рудноформационного) типа колчеданных объектов. В этом регионе преимущественное большинство колчеданных месторождений относится к уральскому типу. Они расположены в восточных зонах Западно-Магнитогорского палеовулканического пояса (месторождения Гайское, Подольское, Сибайское, Учалинское, Дегтярское, Карабашской и Верхнеуральской групп, Лиманное и др.), в южной части Восточно-Магнитогорского пояса (Весенне-Аралчинское, Летнее, Осеннее, Зимнее, Приорское и др.), в Каменском поясе (Сафьяновское, Касаргинское, Султановское). Помимо Урала, месторождения этого типа и возраста распространены на Северном Кавказе (Уруп, Худес и др.), в Кордильерах (район Вест-Шасты) и в Австралии (Маунт-Морган).

Колчеданные месторождения Рудного Алтая относятся к типу куроко (рядом исследователей выделяется рудноалтайский формационный тип месторождений, в который включены объекты области Куроко). В других регионах к этому типу принадлежат месторождения Центральной и Западной Европы — Боденнек, Порт-о-Муан во Франции, рудный район Есеник в Богемском массиве (Чехия), а также небольшие объекты северной части Восточно-Магнитогорского палеовулканического пояса на Южном Урале (Александринское, Джусинское, Барсучий лог и др.).

Среднедевонские объекты филизчайского типа представлены месторождениями Мегген и Раммельсберг (ФРГ), Амурским (Южный Урал), Том и Джасон (территория Юкон, Канада).

Стратиформные свинцово-цинковые месторождения в карбонатных толщах девона также известны в широком пространственном диапазоне. В раннедевонских отложениях Южного острова архипелага Новая Земля расположено месторождение Павловское. В среднедевонском карбонатном чехле Северо-Американской платформы локализованы такие месторождения, как Пайн-Пойнт, Прери-Крик, Гайс-Ривер (Канада). К фаменскому кремнистокарбонатному чехлу северной части Казахстанско-Северо-Тяньшаньского срединного массива приурочен Атасуйский рудный район (месторождения Жайремской группы, Бестюбе, Ушкатын I, III) с железо-марганец-барит-свинцово-цинковыми рудами. На юго-западной окраине этого же срединного массива, в его известняково-доломитовом чехле, также имеющем фаменский возраст, расположен Каратауский район (месторождения Миргалимсай, Шалкия, Ачисай и др.), а в живетскофранских отложениях чехла этого массива - месторождения Уч-Кулач (Узбекистан), Сумсарское

(Киргизия). Позднедевонские (позднедевонскораннекаменноугольные) толщи карбонатного чехла Кураминско-Ферганского срединного массива, подверженные воздействию позднепалеозойского Кураминского вулкано-интрузивного пояса, являются вмещающими скарновых (скарнированных) месторождений Карамазара (Алтын-Топканская, Кургушинканская, Кансайская группы). В одновозрастном чехле южной части Китайской платформы располагаются стратиформные месторождения Фанькоу, Фандун и др.

Каменноугольный период является последней значительной эпохой свинцово-цинкового рудообразования всех его ГПТ. Наиболее значимыми из них являются колчеданные объекты типа куроко, на долю которых приходится 65% запасов руды этого времени, содержащей до 46% запасов свинца и цинка. Они формировались, в основном, в области Палеотетиса (Средиземноморский пояс), где реализованы в Иберийском пиритном поясе (Испания, Португалия), Северной Африке (месторождение Хаджар, Марокко), Средней Азии (месторождение Хандиза). Представителями филизчайского типа объектов этого возраста являются крупные месторождения Ред-Дог, Арктик, Гринс-Крик (Аляска, США) и Цирк (Британская Колумбия, Канада).

Стратиформные свинцово-цинковые объекты содержат около четверти запасов руды и металлов данного возраста. Они расположены преимущественно в двух достаточно удаленных ныне друг от друга ареалах. Один из них – это северо-западная окраина Восточно-Европейской платформы (Ирландия). Здесь в известняково-доломитовой толще раннего карбона залегают месторождения Сильвермайнс, Тайнаг, Наван, Кил и др. Другим ареалом является центральная и западная части Северо-Американской платформы с месторождениями районов Три-Стейтс, Иллинойс-Кентукки, Гилмен, рудовмещающими для которых являются карбонатные толщи того же возраста. Некоторые месторождения (Ледвиллская группа) подвержены метаморфизующему воздействию палеогеновых магматитов кордильерских вулкано-интрузивных поясов. О соотношении стратиформных свинцовоцинковых и медно-порфировых руд месторождения Бингем речь шла выше. С учетом вероятного существования в каменноугольное время Лавразии возможность более сближенного расположения этих двух ареалов с одновозрастными и однотипными объектами представляется вполне допустимой.

На этом же возрастном уровне расположены стратиформное свинцово-цинковое месторождение Шаймарден в Валерьяновской зоне на востоке Урала [12], а также запасы свинца и цинка, сосредоточенные в месторождениях медистых песчаников Джезказганской группы.

Пермский период характеризуется резко сократившейся интенсивностью свинцово-цинковой ру-

доносности всех типов, представленной, как правило, мелкими объектами. Среди колчеданных следует отметить объекты кипрского типа в палеозойской геосинклинали Японии (Бесси, Сиратаки, Садзаре и ряд др.) с существенно медными, низкоцинковистыми рудами. Запасы свинца и цинка известны в единичных объектах куроко (Н. W., Британская Колумбия, Канада) и филизчайского (Байладорес, Венесуэла) типов. Мелкие скарнированные стратиформные свинцово-цинковые месторождения известны в чехле Китайско-Корейской платформы (Ульчин, Ю.Корея, Суикоусан, Китай). Кроме того, некоторое количество запасов свинца и цинка присутствует в рудах месторождений медистых песчаников Мансфельда. Все эти особенности свинцово-цинковой металлогении перми отражают в целом геократические тенденции, существовавшие на Лавразийской суперплатформе.

Эти же тенденции, продолжавшиеся в триасе, предопределили решающую роль стратиформных свинцово-цинковых месторождений в карбонатных (миргалимсайский тип) и в терригенных (лайсвалльский тип) породах. Основным ареалом этих месторождений является Восточно-Европейская платформа, где в известняково-доломитовом чехле ее центральной части и альпийского складчатого обрамления расположено большое количество месторождений, таких как Силезско-Краковский район (Польша), Сан-Сельви, Ла-Малин, Ларжантьер (Франция), Вислох (ФРГ), Блайберг (Австрия), Салафосса, Райбл (Северная Италия), Межица (Словения). Представителем скарнированных объектов этого типа является район месторождения Седмочисленицы (Болгария). Наряду с объектами в карбонатных толщах, в центральной части Восточно-Европейской платформы локализованы месторождения в пестрых песчаниках – Мехерних, Маубах и др. (ФРГ), которые, как и их эокембрийские аналоги Скандинавии, могут интерпретироваться как "свинцовистые песчаники".

Что касается триасовой колчеданоносности, то она представляется достаточно ограниченной. Она проявилась в Средиземноморском и Кордильерском геосинклинальных поясах. В Средиземноморском поясе колчеданные месторождения этого времени известны в Динаридах Боснии и Герцеговины и в Черногории. Это преимущественно мелкие объекты свинцово-цинковых руд филизчайского типа (Веовача, Брсково, Шупля-Стиена). Колчеданообразование в Кордильерском поясе реализовано в объектах уральского и куроко типов. К первым из них относятся месторождения с крупными и средними запасами медных руд (Крейджмонт, Грандук, Уинди-Краги, Британская Колумбия, Канада; Сумдум, Тримен, Руа-Ков и др., Аляска, США); ко вторым – мелкие колчеданно-полиметаллические месторождения Тулсеква-Чиф, Биг-Булл (Британская Колумбия, Канада), Афтерсот (район Вест-Шасты, США).

Свинцово-цинковая рудоносность юрского периода определяется абсолютным доминированием объектов двух ГПТ – колчеданного филизчайского и стратиформного в карбонатных толщах (миргалимсайского). Основная колчеданоносность связывается с Карибским и Средиземноморским геосинклинальными поясами. В Карибском поясе (преимущественно на Кубе) большинство месторождений (Санта-Люсия, Инфьерно 1, Матаамбре, Хукаро-Буэна-Виста) приурочено к флишоидным толщам, и они относятся к филизчайскому типу. К аналогичным по составу отложениям приурочены колчеданные месторождения Средиземноморского пояса, расположенные, главным образом, в зоне юрских сланцев Большого Кавказа (месторождения Филизчай, Кацдаг, Катех). Литолого-фациальные особенности рудовмещающих отложений, их возраст, состава руд, этих достаточно удаленных друг от друга регионов обладают поразительным сходством. Из других колчеданных объектов этого возраста могут быть отмечены месторождения Малого Кавказа (Шамлуг, Ахтала, Алаверды, Кафан и другие), принадлежащие типу куроко, а также небольшое месторождение Кюре (Западные Понтиды, Северная Турция), относящееся, вероятнее всего, к уральскому типу. Кроме того, следует упомянуть также наличие колчеданоносности юрского времени в Кордильерах (месторождения уральского типа Британия и Хиддн-Крик в Канаде и типа куроко – Блю-Мун, Пени в США).

Основным ареалом стратиформных месторождений является северная часть Африканской платформы, где в известняково-доломитовом чехле Атласского массива локализована большая группа месторождений Марокко (Туисит-бу-Беккер, Мибладен, Дуар-Хаджар, Уэд-Мокта и др.) и Алжира (Уэд-Амизур, Эль-Абед, Бу-Дука и др.). Рудные районы этих месторождений обладают структурной сопряженностью с ограничениями Западно-Марроканского и Алжирско-Ливийского нефтегазоносных бассейнов. К этому возрасту относятся месторождения группы Кугитанг (Таза-Чарва, Майдан-Шах), Бестюбе в Туркмении. Они приурочены к позднеюрскому карбонатному чехлу Гаурдак-Кугитангской области поднятий (срединного массива) в Средиземноморском поясе и находятся на одном стратиграфическом уровне с галогенной формацией, породы которой вмещают значительные по запасам месторождения калийных солей (Гаурдакское, Кугитангское и др.).

Вторая половина юрского времени ознаменовалась формированием первых, наиболее значительных, жильных свинцово-цинковых месторождений (Садонское, Згид, Архон, Холстинское, Какадур-Ханикомское и др. на Северном Кавказе). Все они залегают в средне-позднепалеозойских гранитоидах, вмещающих их рифейско-раннепалеозойских кристаллических сланцах и амфиболитах и пере-

крывающих их юрских терригенных отложений, не проникая выше среднеюрских образований.

В меловое время проявилось большинство ГПТ свинцово-цинковых месторождений. Знаменательным событием мела является завершение формирования стратиформных объектов.

Колчеданообразование мелового возраста сопряжено со Средиземноморским поясом. В размещении рудоносных структур и месторождений этого времени проявлена своеобразная зональность. Самая южная из рудоносных зон представлена офиолитовым массивом Троодос на Кипре, в котором сосредоточены мелкие месторождения преимущественно медных руд (Мавровуни, Мавридия, Скуриотиса, Агрокипия и др.). Именно они послужили прототипом для выделения кипрского типа колчеданных месторождений. Восточным продолжением массива Троодос является офиолитовая зона Южного Тавра (Турция), в которой размещены месторождения кипрского типа Эргани-Маден, Вайса, Сиирт-Маденкой. Севернее Южного Тавра расположена Центрально-Анатолийская зона, образованная серией мезозойских офиолитовых швов, разделяющих Мизийско-Галатский, Мендересский, Кыршехинский и другие срединные массивы. Последние в меловое время были объединены на востоке с Закавказским, а на западе с Родопским и Сербско-Македонским срединными массивами. Закавказский срединный массив служил фундаментом для формирования вторичной геосинклинали Малого Кавказа с колчеданными месторождениями Маднеули, Дамблудским и рядом других (Грузия). Эта вторичная геосинклиналь в западном направлении переходит в Восточные Понтиды (Турция) с месторождениями Мургул-Анаятак, Акаршен, Хершит-Кепрюбаши, Ашикей и др. и далее – в Среднегорскую с месторождениями Радка и Елшица (Болгария) и Тимокскую зону с месторождением Бор (Сербия). Все эти объекты относятся к типу куроко. Во флишодных прогибах южных склонов Родопского и Сербско-Македонского срединных массивов расположены месторождения филизчайского типа (Мадем-Лакос, Олимпиас, Северная Греция).

Наиболее значительные стратиформные свинцово-цинковые объекты (Реосин, Рубиалес, Ла Тройя) мелового возраста располагаются в известняково-доломитовом чехле срединного массива Иберийской Мезетты (северо-запад Испании). Примерно такое же лито-стратиграфическое положение занимают месторождения северного Туниса (Джебель-Рассас, Джебель-Грефа) в чехле Атласского массива Африканской платформы.

Скарновые (скарнированные стратиформные) месторождения распространены в основании Кордильерских и Андийских вулкано-интрузивных поясов палеогена—неогена, деформирующих и метаморфизующих карбонатные толщи, слагающие чехол на западных окраинах Северо-Американской и

Южно-Американской платформ. Среди свинцовоцинковых месторождений этого региона могут быть выделены как первичные стратиформные, близкие миссисипскому типу, так и в различной степени преобразованные с регенерацией рудного вещества, скарнированием, частичным переотложением руд и формированием жильных систем [21]. К ним относятся многочисленные месторождения Центральной и Южной Америки, среди которых хорошо известны такие, как Найка, Санта-Эвлалия, Лос-Ламентос и др. (Мексика), Морокоча, Касапалка, Уансала и др. (Перу), Эль-Мачито (Гондурас). Месторождения характеризуются высокими содержаниями серебра. Близкая ситуация характерна для месторождений группы Рудник (Сербия) на фланге Македонского вулкано-интрузивного пояса. Они локализованы в карбонатных толщах раннего мела, интрудированных олигоцен-миоценовыми латитами, гранодиоритами, преобразующими согласные рудные тела.

Среди жильных объектов следует, в первую очередь, отметить рудный район Кер-д'Ален, насчитывающий не менее 35 самостоятельных месторождений, рудников и участков [22]. Район находится на западе Северо-Американской платформы, сложенной допалеозойскими метаморфическими толщами, интрудированными раннемеловыми монцонитами и палеогеновыми лампрофирами и диабазами. Система рудных жил, имеющая позднемеловой возраст, контролируется крупным широтным разломом Осборн. Другим значительным жильным объектом, заслуживающим упоминания, является месторождение Канимансур (Кан-и-Мансур) в Таджикистане. Оно находится в той же структуре Карамазара, что и скарновые (скарнированные) месторождения Алтын-Топканской группы и приурочено к системе тектонических нарушений. Как и Кер-д'Ален, Канимансур обладает высокими содержаниями серебра.

Свинцово-цинковая рудоносность палеогена определяется исключительно месторождениями жильного ГПТ. Они приурочены к трещинноразрывным системам, реализованным в различных геолого-структурных обстановках: 1) чехол западной окраины Северо-Американской платформы, активизированный развитием Кордильерских вулкано-интрузивных поясов, в связи с телами диоритов, гранодиоритов, кварцевых монцонитов (рудный район Парк-Сити, Юта, США); 2) в вулкано-интрузивных комплексах андийской системы в связи с субвулканическими телами дацитов (Матильда, Уанчака, Боливия); 3) в Македонском вулкано-интрузивном поясе, наложенном на край Сербско-Македонского срединного массива в связи с субвулканическими интрузиями дацитов, кварцевых латитов (Злетово, Македония); 4) в связи с рифтогенезом Рейнских Сланцевых гор (районы Рамсбек, Западный Гарц и др.,

Германия); 5) в связи с орогенезом южного склона Большого Кавказа, без видимой связи с магматизмом (Квайсинское, Грузия).

Колчеданоносность палеогена проявлена в основном на Филиппинским архипелаге в виде небольших преимущественно медных месторождений уральского типа (Барло, Багакай, Хиксбар). Другим ареалом с колчеданными рудами этого возраста является Севано-Курдистанская зона, где известно Тандзутское месторождение, которое, как и другие объекты Малого Кавказа, относится к типу куроко.

В рудообразовании неогена проявлено два ГПТ месторождений свинца и цинка - колчеданный куроко и жильный. Колчеданные объекты размещены в Тихоокеанском поясе – это область "зеленых туфов" Японии со знаменитыми миоценовыми месторождениями Куроко, связанными с подводным кислым вулканизмом, а также острова Фиджи (Унду, Ваникора и др.). Из других областей неогенового колчеданообразования этого же типа следует отметить рудный район Банска-Штявница (Центральная Словакия, Карпаты), а также Перуанские Анды с месторождениями Серро-де-Паско и Касапалка. Жильные месторождения, несмотря на значительную территориальную разобщенность, обладают сходными чертами. Все они приурочены к трещинным зонам в поясах миоценового андезитриолитового вулканизма (Санта-Барбара, Парраль, Мексика), в том числе, наложенного на срединные массивы – Колорадский (месторождение Сан-Хаун, Колорадо, США), Паннонский (месторождение Дьендьешороси, Восточные Карпаты, Венгрия), Раховский (месторождение Береговское, Восточные Карпаты, Украина).

Главным металлогеническим событием четвертичного времени является формирование глубоководных сульфидных проявлений, приуроченных к различным структурам Мирового океана и отождествляемых с древними колчеданными рудами [13]. Из более чем 300 установленных проявлений только четыре объекта могут быть сопоставимы в количественном отношении с запасами разведанных месторождений. К ним отнесены рудные залежи впадины Атлантис II Красного моря, гидротермального поля ТАГ в Атлантическом океане, осевой части рифта Галапагосского хребта в Тихом океане и впадины Гуаймас в Калифорнийском заливе. По условиям размещения, минеральному и химическому составам руд, соотношениям в них меди, цинка, свинца с определенной долей условности первый объект может быть отнесен к уральскому типу, два вторых - к кипрскому типу, последний – к филизчайскому типу.

Все изложенное позволило вычислить современное распределение разведанных запасов свинца и цинка по ГПТ месторождений и времени их формирования (табл. 6), а также модельные параметры объектов (табл. 7).

**Таблица 6.** Распределение мировых разведанных запасов (%) свинца/цинка по геолого-промышленным типам и времени их образования

Table 6. Distribution of the world's proven reserves (%) of lead/zinc by geological-industrial types and the time of their formation

Возраст	Колчедан-	Колчедан-	Колчедан-	Колчедан-	Стратиформ-		Стратиформ-		Итого
	ный кипр-	ный ураль-	ный куроко	ный филиз-	ный в карбо-	формный	ный в терри-	ный	
	ский	ский		чайский	натных тол-	сканиро-	генных тол-		
					щах	ванный	щах		
KZ	< 0.1/0.2	<0.1/0.8	1.0/1.3	< 0.1/0.3				2.5/1.5	3.5/4.1
MZ	< 0.1/0.1	0.0/0.1	0.3/0.7	0.8/1.1	4.2/7.1	4.0/2.8	0.9/0.8	2.9/0.8	13.2/13.6
PZ	<0.1/<0.1	0.5/5.7	11.6/17.5	5.9/8.7	30.0/17.8	4.2/2.2	0.5/0.1	0.1/0.1	52.9/52.1
$(RF_3+V)$	0.0/<0.1	0.0/0.1	<0.1/0.2	5.4/5.5	0.8/1.2	2.2/3.0	1.2/<0.1		9.6/10.1
$(RF_{1+2})$	<0.1/<0.1	0.0/0.0		15.3/10.5	0.8/2.0	0.2/0.2			16.4/12.7
$PR_1$	<0.1/<0.1	<0.1/0.6	3.3/1.4	0.8/2.1					4.2/4.2
AR		0.1/2.5	< 0.1/0.2	< 0.1/0.5					0.2/3.2
Всего	0.1/0.5	0.7/9.8	16.3/21.3	28.4/28.7	35.8/28.1	10.6/8.2	2.6/1.0	5.5/2.4	100/100

Таблица 7. Модельные параметры месторождений свинца и цинка

**Table 7.** Model parameters of lead and zinc deposits

EFF.	_ n	n		n	
ГПТ	Запасы руды	Запасы свинца			Среднее содержа-
месторождений	модельного	модельного	ние свинца модель-	дельного объекта,	ние цинка модель-
	объекта, млн т	объекта, тыс. т	ного объекта, %	тыс. т	ного объекта, %
Колчеданный кипрский	6.63	0.29	0.004	75.28	1.13
Колчеданный уральский	34.39	22.42	0.07	563.01	1.64
Колчеданный куроко	35.06	434.76	1.24	1074.42	3.06
Колчеданный филизчай-	52.01	1763.36	3.38	3388.04	6.50
ский					
Стратиформный в карбо-	61.11	1493.2	2.44	2218.53	3.63
натных породах					
Стратиформный скарни-	16.20	527.35	3.24	767.66	4.74
рованный					
Стратиформный в терри-	57.02	844.50	1.48	602.86	1.06
генных породах					
Жильный	12.17	666.40	5.47	555.35	4.56

### выводы

- В структуре свинцово-цинкового потенциала Земли проявлены следующие особенности.
- 1. Во всей геологической истории Земли формирование этого потенциала начинается (архей, ранний протерозой) и заканчивается (четвертичное время) объектами колчеданных ГПТ.
- 2. Начиная со среднего протерозоя, колчеданные ГПТ частично замещаются ГПТ стратиформных свинцово-цинковых месторождений, образование которых завершается в меловое время.
- 3. Неиспользованные в домезозойских месторождениях количества свинца и цинка реализованы в объектах жильного ГПТ, интенсивное развитие которого начинается с юрского времени, достигая максимума в палеогене.
- 4. На каждом возрастном уровне (см. табл. 5, рис. 3) преобладают объекты одного, максимум двух ГПТ, тогда как другие имеют подчиненное значение.

5. Достаточно однотипные обстановки реализации свинцово-цинкового потенциала подтверждают высказанные В.И.Смирновым положения о консервативности металлогенических процессов в геологической истории Земли.

Автор благодарен И.В. Исаковой и И.Л. Бышевской за подготовку графического и табличного материалов.

### СПИСОК ЛИТЕРАТУРЫ

- 1. Быховер Н.А. (1984) Распределение мировых ресурсов минерального сырья по эпохам рудообразования. М.: Недра, 576 с.
- 2. Вулканизм и рудообразование (1973). Под ред. Т.М. Тацуми. М.: Недра, 254 с.
- 3. Геологическая служба и развитие минеральносырьевой базы. (1993) (Под ред. А.И. Кривцова, И.Ф. Мигачева, Г.В. Ручкина.) М.: ЦНИГРИ, 618 с.
- 4. Горжевский Д.И. (1981) Промышленно-генетиче-

ские типы свинцово-цинковых месторождений. М.: ВИЭМС, 44 с.

- 5. Горжевский Д.И., Макеева И.Т. (1982) Стратиформные месторождения цветных металлов (Условия локализации и происхождение стратиформных месторождений свинца, цинка и меди). Сер. Рудные месторождения. Т. 12. М.: ИНТ, 168 с.
- 6. Горжевский Д.И., Филатов Е.И. (1989) Свинцовоцинковые руды. *Горная энциклопедия. Т. 4.* М.: Советская энциклопедия, 472-474.
- 7. Горжевский Д.И., Шабаршов П.Я. (1982) Минерально-сырьевая база свинцово-цинковой промышленности зарубежных стран в 1961–1980 гг. и прогноз ее развития до 2000 г. М.: ВИЭМС, 62 с.
- 8. Густафсон Л.Б., Уильямс Н. (1984) Стратиформные месторождения меди, свинца и цинка в осадочных породах. *Генезис рудных месторождений*. Т. 1. М.: Мир, 156-244.
- 9. Дергачев А.Л. (2010) Эволюция вулканогенного колчеданообразования в истории Земли. Автореф. дис. ...докт. геол.-мин. наук. М.: МГУ, 58 с.
- 10. Дергачев А.Л., Дергачев А.А., Еремин Н.И. (2015) Эпохи свинцово-цинкового рудообразования в геологической истории Земли. *Вестн. МГУ. Сер. 4. Геология*. (3), 62-72.
- 11. Ежов С.В. (1996) Геологические условия локализации оруденения и генезис скарново-полиметаллических месторождений Алтын-Топканского рудного района (Северный Таджикистан). Автореф. дис. ... д-ра геол.-мин. наук. М., 48 с.
- 12. Ивлев А.И. (2001) Генезис цинкового месторождения Шаймарден и перспективы Валерьяновского синклинория на свинцово-цинковое оруденение. Уральский геологический журнал. (5) 67-77.
- 13. Карта теплового потока гидротермального оруденения в Мировом океане. М-6: 1: 20 000 000. (1988) Объяснительная записка. (Под ред. И.С. Грамберга и А.А. Смыслова). Л.:ВСЕГЕИ, 151 с.
- 14. Колчеданные месторождения зарубежных стран. (1984) (Под ред. С.Н. Иванова). М.: Наука, 216 с.
- 15. Колчеданные месторождения мира. (1979) Под ред. В.И. Смирнова. М.: Недра, 284 с.
- Конкин В.Д., Ручкин Г.В. (1991) Статистические закономерности накопления свинца и цинка в стратиформных месторождениях. Геология рудн. месторождений. (3), 49-60.
- 17. Контарь Е.С. (2002) Количественная оценка колчеданообразования. Геология рудн. месторождений. (6), 543-555.
- 18. Контарь Е.С. (2007) Стратиформные свинцовоцинковые месторождения Урала. *Геодинамика, магматизм, метаморфизм и рудообразование*. Екатеринбург: ИГГ УрО РАН, 670-699.
- 19. Контарь Е.С. (2013) Геолого-промышленные типы месторождений меди, цинка, свинца на Урале (геологические условия размещения, история формирования, перспективы). Екатеринбург: УГГУ, 199 с.
- 20. Контарь Е.С. (2015) Месторождения меди в геологи-

- ческой истории Земли. Региональная геология и металлогения. № 61, 77-91.
- 21. Кривцов А.И., Мигачев И.Ф. (1997) Металлогения андезитоидных вулкано-плутонических поясов. Ч. 1. М.: ЦНИГРИ, 326 с.
- 22. Месторождения свинца и цинка. (1972) *Рудные месторождения США*. Т. 1, ч. 1. М.: Мир, 11-456.
- Методическое руководство по оценке прогнозных ресурсов алмазов, благородных и цветных металлов. (2002). Выпуск "Свинец и цинк". (Г.В. Ручкин, В.Д. Конкин, А.И. Донец и др.) М.: ЦНИГРИ, 169 с.
- 24. Минеральные месторождения Европы. Т. 1. Северо-Западная Европа. (1982). М.: Мир, 583 с.
- 25. Минеральные месторождения Европы. Т. 3, Центральная Европа. (1988). М.:Мир, 516 с.
- 26. Павлов Д.И., Горжевский Д.И., Богашова Л.Г. и др. (1988) Связь стратиформных свинцово-цинковых месторождений в карбонатных породах с нефтепродуцирующими и галогенными толщами. *Изв. АН СССР. Сер. геол.* (8), 92-106.
- 27. Парагенезис металлов и нефти в осадочных толщах нефтегазоносных бассейнов. (1990). (Д.И. Горжевский, А.А. Карцев, Д.И. Павлов и др.) М.: Недра, 268 с.
- 28. Перваго В.А. (1975) Условия формирования и геолого-экономическая оценка промышленных типов месторождений цветных металлов. М.: Недра, 272 с.
- 29. Перваго В.А. (1993) Свинцово-цинковые месторождения мира. М.: Недра, 254 с.
- Попов В.В. (2000) Минеральные ресурсы и экономика России на рубеже XX-XXI столетий: Проблемы и пути их решения. М.: ОИФЗ РАН, 47 с.
- 31. Ручкин Г.В. (1984) Стратиформные полиметаллические месторождения докембрия. М.: Недра, 237 с.
- 32. Ручкин Г.В., Донец А.И. (2002) Стратиформные свинцово-цинковые месторождения в карбонатных толщах. М.: ЦНИГРИ, 123 с.
- 33. Страхов Н.М. (1962) Основы теории литогенеза. Т. III. М.: Изд-во АН СССР, 550 с.
- Твалчрелидзе Г.А. (1974) О типах колчеданных месторождений и провинций. Изв. АН СССР. Сер. геол. (10), 5-16.
- 35. Филатов Е.И. (1986) Полиметаллические месторождения фанерозоя. М.: Недра, 198 с.
- 36. Хаин В.Е. (2000) Основные этапы тектонического развития Земли и их отражение в минерагенезе. *Геология рудн. месторождений* (5), 403-408.
- 37. Эйнауди М.Т., Мейнерт Л.Д., Ньюберри Р.Дж. (1984) Скарновые месторождения. *Генезис рудных месторождений*. *Т.1*. М.: Мир, 401-515.
- 38. Яковлев П.Д. (1986) Промышленные типы рудных месторождений. М.: Недра, 358 с.
- 39. Hutchinson R.W. (1990) Precious metals in massive base metal sulfide deposits. *Geologische Rundschau*. **79**(2), 241-263.
- 40. Sverjensky D.A. (1984) Oil Field Brines as Ore-Forming Solutions. *Econ. Geol.* **79**, p. 23-35.

# Lead and zinc deposits in forming history of the Earth's crust

### E.S. Kontar

Urals Geological-Survey Expedition

It is generalized the data of location in structures and stratigraphic sequences of the Earth lead and zinc deposits following geological-industrial types (GIT): massive sulphide Cyprus, massive sulphide Urals, massive sulphide Kuroko, massive sulphide Filizchay, stratiform lead-zinc carbonate-hosted, skarn lead-zinc (stratiform, converted to skarns), stratiform lead-zinc clastic-hosted, lead-zinc vein. According to estimates which were made by the author, during geological history of the Earth, from the Late Archean to the Quaternary it was accumulated at least 17.3 billion tons of ore, containing more than 317 million tons of lead and 600 million tons of zinc.

Key words: lead and zinc deposits, geological-industrial types, massive sulphide Cyprus, massive sulphide Urals, massive sulphide Kuroko, massive sulphide Filizchay, stratiform lead-zinc carbonate-hosted, skarn lead-zinc (stratiform, converted to skarns), stratiform lead-zinc clastic-hosted, lead-zinc vein.

### REFERENCES

- 1. Byhover N.A. (1984) Raspredelenie mirovykh resursov mineral'nogo syr'ja po epokham rudoobrazovanija [Distribution of the world's mineral resources for the epochs of mineralization]. Moscow: Nedra Publ., 576 p. (In Russian).
- 2. *Vulkanizm i rudoobrazovanie* (1973) [Volcanism and ore formation]. (Ed. T.M. Tatsumi). Moscow: Nedra Publ., 254 p. (In Russian).
- 3. Geologicheskaja sluzhba i razvitie mineral'no-syr'evoj bazy (1993) [Geological Survey and development of mineral resource base]. (Eds. A.I. Krivtsov, I.F. Migachev, G.V. Ruchkin). Moscow: TsNIGRI Publ., 618 p. (In Russian).
- 4. Gorzhevski D.I. (1981) Promyshlenno-geneticheskie tipy svintsovo-tsinkovykh mestorozhdenij [Industrial and genetic types of lead-zinc deposits]. Moscow: VIEMS Publ., 44 p. (In Russian).
- Gorzhevski D.I., Makeeva I.T. (1982) Stratiformnye mestorozhdenija tsvetnykh metallov (Uslovija lokalizatsii i proishozhdenie stratiformnykh mestorozhdenij svintsa, tsinka i medi) [Stratiform deposits of nonferrous metals: Localization and the origin of stratiform deposits of lead, zinc and copper)]. Ser. Rudnye mestorozhdenija, T. 12. Moscow: INT Publ., 168 p. (In Russian).
- 6. Gorzhevski D.I., Filatov E.I. (1989) Lead-zinc ores. *Gornaja entsiclopedija. T. 4.* Moscow: Sovetskaja entsiclopedija Publ., 472-474. (In Russian).
- 7. Gorzhevski D.I., Shabarshov P.Ja. (1982) Mineral'no-syr'evaja baza svintsovo-tsinkovoj promyshlennosti zarubezhnykh stran v 1961–1980 gg. i prognoz ee razvitija do 2000 g [Mineral resources of the lead and zinc industry of foreign countries in 1961–1980 and forecast of its development until 2000]. Moscow: VIEMS Publ., 62 p. (In Russian).
- 8. Gustafson L.B., Willijams N. (1984) Stratiform deposits of copper, lead and zinc in the sediments. *Genezis rudnykh mestorozhdenij. T. 1*. Moscow: Mir Publ., 156-244. (In Russian).
- 9. Dergachev A.L. (2010) Evolyutsija vulkanogennogo kolchedanoobrazovanija v istorii Zemli [Evolution volcanic massive sulphide deposits in Earth's history].

- Avtoref. dis. ... dokt. geol.-min. nauk. Moscow: MGU, 58 p. (In Russian).
- 10. Dergachev A.L., Dergachev A.A., Eremin N.I. (2015) [Epochs lead-zinc ore formation in the Earth's geological history]. *Vestn. Mosk. Univ. Ser. 4. Geol.* (3), 62-72. (In Russian).
- 11. Ezhov Ś.V. (1996) Geologicheskie uslovija lokalizatsii orudenenija i genezis skarnovo-polimetallicheskikh mestorozhdenij Altyn-Topkanskogo rudnogo rajona (Severnyj Tadzhikistan) [Geological conditions of localization of mineralization and genesis of skarn polymetallic deposits Altyn Topkan ore district (Northern Tajikistan)]. Avtoref. dis. ... d-ra geol.-min. nauk. M., 48 p. (In Russian).
- 12. Ivlev A.I. (2001) Genesis zinc deposit Shaymarden and prospects of Valer'janovka Synclinorium on lead-zinc mineralization. *Ural'skij geologicheskij zhurnal*. (5), 67-77. (In Russian).
- 13. Karta teplovogo potoka gidrotermal'nogo orudenenija v Mirovom okeane. M-b: 1 : 20 000 000. (1988) Ob"jasnitel'naja zapiska. (1988) (Eds. I.S. Gramberg i A.A. Smyslov) [Map of heat flow of hydrothermal mineralization in the World Ocean. Scale: 1 : 20 000 000. Explanatory note]. Leningrad: VSEGEI Publ., 151 p. (In Russian).
- 14. Kolchedannye mestorozhdenija zarubezhnykh stran (1984) [Pyrite deposits of foreign countries]. (Ed. S.N. Ivanov). Moscow: Nauka Publ., 216 p. (In Russian).
- 15. Kolchedannye mestorozhdenija mira. (1979) [Pyrite deposits in the world]. (Ed. V.I. Smirnov). Moscow: Nedra Publ., 284 s. (In Russian).
- 16. Konkin V.D., Ruchkin G.V. (1991) Statistical patterns of accumulation of lead and zinc stratiform deposits. *Geol. rudn. mestorozhd.* (3), 49-60. (In Russian).
- 17. Kontar' E.S. (2002) [Quantitative estimation of pyrite ore formation]. *Geol. rudn. mestorozhd.* (6), 543-555. (In Russian).
- 18. Kontar' E.S. (2007) Stratiform lead-zinc deposits of the Urals. *Geodynamics, magmatism, metamorphism and mineralization*. Ekaterinburg: IGG UrO RAN Publ., 670-699. (In Russian).
- 19. Kontar' E.S. (2013) Geologo-promyshlennye tipy mestorozhdenij medi, tsinka, svintsa na Urale (geologicheskie uslovija razmeshchenija, istorija formirovanija, per-

*spektivy)* [Geological and industrial types of copper, zinc and lead deposits in the Urals (geological conditions of accommodation, the history of formation and prospects)]. Ekaterinburg: UGGU Publ., 199 p. (In Russian).

- 20. Kontar' E.S. (2015) The deposits of copper in the Earth's geological history. *Regional'naja geologija i metallogenija*. № 61, 77-91. (In Russian).
- 21. Krivtsov A.I., Migachev I.F. (1997) *Metallogenija* andezitoidnykh vulkano-plutonicheskikh pojasov [Metallogeny of andesite volcano-plutonic belts]. Ch. 1. Moscow: TsNIGRI Publ., 326 p. (In Russian).
- 22. Deposits of lead and zinc. (1972) Rudnye mestorozhdenija USA. T. 1, chast' 1. Moscow: Mir Publ., 11-456. (In Russian).
- 23. Metodicheskoe rukovodstvo po otsenke prognoznykh resursov almazov, blagorodnykh i tsvetnykh metallov. (2002) [Methodological Guide for the evaluation of forecast resources of diamonds, precious and base metals]. Vypusk "Svinets i tsink". (G.V. Ruchkin, V.D. Konkin, A.I. Donets et al.) M.: TsNIGRI Publ., 169 p. (In Russian).
- Mineral'nye mestorozhdenija Evropy. T. I. Severo-Zapadnaja Evropa. (1982) [Mineral deposits in Europe. T. 1. North-Western Europe]. Moscow: Mir Publ., 583 p. (In Russian).
- 25. *Mineral'nye mestorozhdenija Evropy. T. 3, Tsentral'naja Evropa.* (1988) [Mineral deposits Evropy. V. 3, Central Europe]. Moscow: Mir Publ., 516 p. (In Russian).
- Pavlov D.I., Gorzhevskij D.I., Bogashova L.G. et al. (1988) Communication stratiform lead-zinc deposits in carbonate rocks to oil bearing and halogen strata. *Izv. Akad. Nayk SSSR. Ser. geol.* (8), 92-106. (In Russian).
- 27. Paragenezis metallov i nefti v osadochnykh tolshchakh neftegazonosnykh bassejnov. (1990) [Paragenesis metals and oil in the sedimentary strata of oil and gas basins.]. (D.I. Gorzhevskij, A.A. Kartsev, D.I. Pavlov et al.) Moscow: Nedra Publ., 268 p. (In Russian).
- 28. Pervago V.A. (1975) Uslovija formirovanija i geologoekonomicheskaja otsenka promyshlennykh tipov mestorozhdenij tsvetnykh metallov [The conditions of formation and geological and economic evaluation

- of industrial types of deposits of non-ferrous metals]. Moscow: Nedra Publ., 272 p. (In Russian).
- 29. Pervago V.A. (1993) *Svintsovo-tsinkovye mestorozhdenija mira* [Lead-zinc deposits in the world]. Moscow: Nedra Publ., 254 p. (In Russian).
- 30. Popov V.V. (2000) *Mineral'nye resursy i ekonomika Rossii* na rubezhe XX-XXI stoletij: Problemy i puti ikh reshenija [Mineral Resources and the Russian economy at the baundary of XX-XXI centuries: Problems and Solutions]. Moscow: OIFZ RAN Publ., 47 p. (In Russian).
- 31. Ruchkin G.V. (1984) *Stratiformnye polimetallicheskie mestorozhdenija dokembrija* [Stratiform polymetallic deposits of the Precambrian]. Moscow: Nedra Publ., 237 p. (In Russian).
- 32. Ruchkin G.V., Donets A.I. (2002) Stratiformnye svintsovo-tsinkovye mestorozhdenija v karbonatnykh tolshchakh [Stratiform lead-zinc deposits in carbonate strata]. Moscow: TsNIGRI Publ., 123 p. (In Russian).
- 33. Strahov N.M. (1962) *Osnovy teorii litogeneza* [Fundamentals lithogenesis theory]. V. III. Moscow: Akad. Nauk SSSR Publ., 550 p. (In Russian).
- 34. Tvalchrelidze G.A. (1974) [About the types of massive sulfide deposits and provinces]. *Izv. Akad. Nauk SSSR. Ser. geol.* (10), 5-16. (In Russian).
- 35. Filatov E.İ. (1986) *Polimetallicheskie mestorozhdenija fanerozoja* [Polymetallic deposits in Phanerozoic]. Moscow: Nedra Publ., 198 p. (In Russian).
- 36. Hain V.E. (2000) [The main stages of tectonic evolution of the Earth and their reflection in minerageneze]. *Geol. rudn. mestorozhd.* (5), 403-408. (In Russian).
- 37. Einaudi M.T., Meinert L.D., Newberry R.D. (1984) Skarn deposits. *Genezis rudnykh mestorozhdenij. T. 1*. Moscow: Mir Publ., 401-515. (In Russian).
- 38. Yakovlev P.D. (1986) Promyshlennye tipy rudnykh mestorozhdenij [Industrial types of ore deposits]. Moscow: Nedra Publ., 358 p. (In Russian).
- 39. Hutchinson R.W. (1990) Precious metals in massive base metal sulfide deposits. *Geologische Rundschau*. **79**(2), 241-263.
- 40. Sverjensky D.A. (1984) Oil Field Brines as Ore-Forming Solutions. *Econ. Geol.* **79**, 23-35.